

**INSTITUT TEKNOLOGI NASIONAL MALANG
FAKULTAS TEKNOLOGI INDUSTRI
JURUSAN TEKNIK ELEKTRO S-1
KONSENTRASI TEKNIK ENERGI LISTRIK**



**ANALISA PENGARUH PERUBAHAN KEMAMPUAN HANTAR
ARUS SALURAN TERHADAP TEGANGAN TARIK DAN
ANDONGAN DENGAN PROGRAM MATLAB 7.0
PADA SUTET 500 KV DI PAITON - KEDIRI**

SKRIPSI

Disusun Oleh :
ASRUL KAYUNG
02.12.076

MARET 2007

LEMBAR PERSETUJUAN

ANALISA PENGARUH PERUBAHAN KEMAMPUAN HANTAR ARUS SALURAN TERHADAP TEGANGAN TARIK DAN ANDONGAN DENGAN PROGRAM MATLAB 7.0 PADA SUTET 500 kV DI PAITON - KEDIRI

SKRIPSI

*Disusun dan Diajukan Untuk Melengkapi dan Memenuhi Syarat-Syarat
Guna Mencapai Gelar Sarjana Teknik*

Disusun Oleh :
ASRUL KAYUNG
NIM 02.12.076

Diperiksa dan disetujui,
Dosen Pembimbing



Ir. F. YUDIPLIMPRAPTONO, MT
NIP.Y. 103 950 0274



Ir. TEGUH HERBASUKI, MT
NIP. Y. 103 890 0209

KONSENTRASI TEKNIK ENERGI LISTRIK
JURUSAN TEKNIK ELEKTRO S-1
FAKULTAS TEKNOLOGI INDUSTRI
INSTITUT TEKNOLOGI NASIONAL MALANG
2007

ABSTRAK

Analisa Perubahan Kemampuan Hantar Arus Saluran Terhadap Tegangan Tarik dan Andongan dengan Program Matlab 7.0 pada SUTET 500 kV di Paiton – Kediri

Asrul Kayung, Pembimbing Ir. Teguh Herbasuki, MT
Jurusan Teknik Elektro Konsentrasi Energi listrik S-1 FTI ITN Malang.

The transmission lines generally using conductor with ACSR (Aluminium Conductor Steel Reinforced) which has limited temperature until 90 degrees. In this present time, the need of electricity is increasing rapidly; considering from that problem, we need to increase the capacity of transmission line by optimizes the capacity of line conductor from the transmission line before. The main problem of optimizing the transmission line are the tension and sagging of the conductors become bigger. Based from this situation the research is conducted to know about the characteristic of the alteration of current line to tension and sagging of the conductors. Therefore, the result of the research can be useful in designing the structure construction of transmission line which suitable to the conductor's characteristic. As a simulation model, Paiton-Kediri 500 kV transmission line is used. The data, including the data of ACSR conductor, are collected from the field. The conductor's temperature is calculated using heat-balance method. *Ruling Span* method is used to measure the length of equivalent span. Mean while the *Catenary* method is used to measure the conductor's tension and sagging. In conclusion, it can be seen that the alteration of line current from 10 Ampere to 810 Ampere will cause the conductor temperature increase 47,46%, the tension decrease 3,69% and the sagging increase 4,53%.

Keywords: current carrying capacity, transmission line, ACSR

KATA PENGANTAR

Puji syukur kami panjatkan kehadirat Allah SWT, yang telah memberikan rahmat serta taufik dan hidayahnya sehingga penulisan skripsi yang berjudul “Analisa Perubahan Kemampuan Hantar Arus Saluran Terhadap Tegangan Tarik dan Andongan dengan Program Matlab 7.0 pada SUTET 500 kV di Paiton – Kediri ” ini dapat terselesaikan.

Penulisan skripsi ini tentunya tidak terlepas dari bantuan serta dukungan dari berbagai pihak. Oleh karena itu, penulis mengucapkan banyak terima kasih kepada:

1. Dr. Ir. Abraham Lomi, MSEE selaku Rektor Institut Teknologi Nasional Malang
2. Ir. Mochtar Asroni, MT selaku Dekan Fakultas Teknologi Industri ITN Malang,
3. Ir. Yudi Limpraptono, MT selaku Ketua Jurusan Teknik Elektro/Elektronika SI ITN Malang.
4. Ir. Teguh Herbasuki, MT selaku pembimbing yang telah banyak memberikan bimbingan, arahan, dan saran-saran selama pelaksanaan penelitian dan proses penyusunan skripsi ini.
5. Para Dewan Pengaji yang telah banyak memberikan arahan dan masukan untuk memperbaiki penyusunan skripsi ini.
6. Ibu Sri Wiratmo, selaku Manager Bidang SDM & Administrasi PT PLN P3B Region Jawa-Bali yang telah banyak membantu dalam penyediaan data-data yang diperlukan dalam penyusunan skripsi ini.

7. Bapak Muaji, yang telah banyak membantu dalam penyediaan data-data yang diperlukan dalam penyusunan skripsi ini.
8. Kedua orang tua saya yang telah banyak memberikan dukungan baik lahir maupun batin sehingga dapat terselesaikannya penelitian ini.
9. Untuk teman-temanku (Semua teman-teman kos, Mas Ugro, Mas Arvin, Novi, Kamal, Dede, Alfan) yang selalu memberiku semangat, motivasi dan do'a.
10. Kepada semua pihak dan juga teman-teman seperjuangan (ST '02) yang telah banyak membantu dan mendukung dalam proses penyusunan skripsi ini baik secara langsung maupun tidak langsung.

Penulis menyadari bahwa penulisan skripsi ini masih jauh dari kesempurnaan. Oleh karena itu kritik dan saran dari berbagai pihak yang bersifat membangun sangat penulis harapkan untuk kesempurnaan skripsi ini. Semoga skripsi ini dapat bermanfaat dan menambah wawasan dalam mengkaji masalah-masalah yang berkaitan dengan perencanaan saluran transmisi, baik bagi penulis maupun bagi pembaca pada umumnya. Amin...3x.

Malang, Maret 2007

Penulis

DAFTAR ISI

	Halaman
ABSTRAK	i
KATA PENGANTAR	ii
DAFTAR ISI	iv
DAFTAR TABEL	vii
DAFTAR GAMBAR	viii
BAB I PENDAHULUAN	
1.1. Latar Belakang	1
1.2. Rumusan Masalah	2
1.3. Tujuan Pembahasan	3
1.4. Batasan Masalah	3
1.5. Metodologi Pembahasan	4
1.6. Kontribusi	4
1.7. Sistematika Pembahasan	5
BAB II PERENCANAAN SALURAN TRANSMISI	
2.1. Sistem Saluran Transmisi	7
2.2. Tegangan Transmisi	10
2.3. Komponen-Komponen Saluran Tranmisi	11
2.3.1. Menara atau Tiang Transmisi	11
2.3.2. Isolator-Isilator	12
2.3.3. Kawat Penghantar	13
2.3.4. Kawat Tanah	14
2.4. Perencanaan Saluran Udara Tegangan Tinggi	14
2.4.1. Survey, Pengukuran dan Pemetaan Rute dari Saluran	15
2.4.2. Pengujian Tanah Tempat Menara-Menara, dan Berdasarkan Keadaan Tanah Setempat Direncanakan Pondasi Menara	16

2.4.3. Perencanaan dari Menara Beserta Traversnya	18
2.5. Perhitungan Tegangan Tarik dan Andongan Konduktor	19
2.6. Pengaruh Tekanan Angin	19

**BAB III METODE CATENARY UNTUK MENGHITUNG TEGANGAN
TARIK DAN ANDONGAN KONDUKTOR PADA SUTET 500
kV**

3.1. Analisa Perhitungan Temperatur Konduktor Akibat Perubahan Kemampuan Hantar Arus Saluran	22
3.1.1. Panas yang di Bangkitkan oleh Konduktor	22
3.1.2. Penyebaran Panas Konduktor	23
3.1.3. Persamaan Keseimbangan Panas	24
3.2. Perhitungan Tegangan Tarik dan Andongan Konduktor	25
3.3. Perhitungan Span Equivalen	28
3.4. Algoritma Pemecahan Masalah	28
3.5. FlowChart Pemecahan Masalah	29

**BAB IV ANALISA PENGARUH PERUBAHAN KEMAMPUAN
HANTAR ARUS SALURAN TERHADAP TEGANGAN TARIK
DAN ANDONGAN PADA SUTET 500 kV PAITON-KEDIRI**

4.1. Rute	30
4.2. Menara Transmisi	30
4.3. Konduktor	37
4.4. Andongan	38
4.5. Perhitungan Temperatur Konduktor Akibat Perubahan Kemampuan Hantar Arus Saluran	39
4.6. Perhitungan Tegangan Tarik dan Andongan Konduktor	44
4.7. Perhitungan Pengaruh Perubahan Kemampuan hantar Arus Saluran Terhadap Tegangan Tarik dan Andongan Konduktor ..	46
4.8. Perhitungan Span Equivalen	55

BAB V PENUTUP

5.1. Kesimpulan 57

DAFTAR PUSTAKA

58

LAMPIRAN-LAMPIRAN

DAFTAR TABEL

Tabel

2.1	Tekanan Angin Spesifik	20
2.2	Faktor Bentuk	20
4.1	Jumlah Menara SUTET 500 kV di Paiton - Kediri	31
4.2	Tabel Menara AA Ukuran dalam Meter	34
4.3	Tabel Menara BB-CC Ukuran dalam Meter	35
4.4	Tabel Menara DD-EE-FF Ukuran dalam Meter	36
4.5	Karakteristik SUTET 500 kV Paiton-Kediri	38

DAFTAR GAMBAR

Gambar

2.1. Jaringan Transmisi 500 kV Jawa - Bali	7
2.2. Jenis-jenis Menara Baja	11
2.3. Isolator Gantung 250 mm	12
2.4. Isolator Jenis Pasak dan Isolator Pos Saluran	12
3.1 Menara Sama Tinggi	26
3.2 Menara Tidak Sama Tinggi	27
3.3. FlowChart Pemecahan Masalah	29
4.1. Skema Tower yang Terpasang pada SUTET 500 kV Paiton – Kediri	31
4.2. Peta Persebaran Tower 500 kV Paiton – Kediri	32
4.3. Skema Menara Transmisi	33
4.4. Grafik Perubahan Kemampuan Hantar Arus Saluran Terhadap Temperatur Konduktor	43
4.5. Grafik Perubahan Kemampuan Hantar Arus Saluran Terhadap Andongan Konduktor	50
4.6. Grafik Perubahan Kemampuan Hantar Arus Saluran Terhadap Tegangan Tarik Konduktor	54

BAB I

PENDAHULUAN

1.1 Latar Belakang

Peningkatan kebutuhan tenaga listrik yang pesat akhir-akhir ini menyebabkan perlu ditambah kapasitas saluran transmisi seiring dengan perluasan kapasitas pusat-pusat pembangkit, akan tetapi memerlukan biaya yang sangat tinggi. Salah satu upaya meningkatkan kapasitas penyaluran adalah dengan mengoptimalkan saluran transmisi sesuai dengan kemampuan kuat hantar arusnya. Saluran transmisi udara pada umumnya menggunakan konduktor jenis ACSR (*Alumunium Conductor Steel Reinforced*) yang memiliki batas temperatur kerja yang diijinkan sebesar 90°C.

Mempertimbangkan peningkatan kebutuhan tenaga listrik yang pesat akhir-akhir ini, maka usaha untuk meningkatkan kapasitas saluran transmisi dilakukan dengan mengoptimalkan kapasitas hantar arus dari saluran transmisi yang ada, dengan meningkatnya kemampuan hantar arus tersebut dapat menimbulkan bertambahnya tegangan tarik dan andongan, oleh karena itu perlu diteliti masalah unjuk kerja mekanis sebagai akibat perubahan arus saluran, agar dapat diketahui karakteristiknya yang akan berguna untuk perancangan kontruksi saluran transmisi. Permasalahan terhadap unjuk kerja mekanis meliputi bagaimana pengaruh arus saluran terhadap perubahan temperatur, tegangan tarik horizontal, tegangan tarik, dan andongan konduktor. Dengan bantuan perangkat lunak (software) Matlab 7.0 akan memudahkan perhitungan formulasi permasalahan yang bersangkutan.

1.2 Rumusan Masalah

Mempertimbangkan peningkatan kebutuhan tenaga listrik yang pesat akhir-akhir ini, maka usaha untuk meningkatkan kapasitas saluran transmisi dilakukan dengan mengoptimalkan kapasitas hantaran arus dari saluran transmisi yang telah ada. Permasalahan utama dari peng-optimalan saluran transmisi tersebut adalah tegangan tarik dan andongan yang timbul pada konduktor tersebut menjadi lebih besar.

Oleh karena itu skripsi ini akan menganalisa karakteristik perubahan arus saluran terhadap tegangan tarik dan andongan konduktor. Dimana model simulasi digunakan saluran transmisi tegangan ekstra tinggi 500 kV jalur Paiton-Kediri dengan menggunakan data-data konduktor ACSR yang sesuai dengan yang ada di lapangan, dengan demikian diharapkan dari hasil analisa ini akan berguna untuk membangun struktur konstruksi saluran transmisi yang sesuai dengan sifat dari konduktor tersebut.

Dari permasalahan yang timbul diatas maka skripsi ini diberi judul :

"ANALISA PENGARUH PERUBAHAN KEMAMPUAN HANTAR ARUS SALURAN TERHADAP TEGANGAN TARIK DAN ANDONGAN DENGAN PROGRAM MATLAB 7.0 PADA SUTET 500 kV DI PAITON – KEDIRI "

1.3 Tujuan Pembahasan

Mengetahui karakteristik perubahan kemampuan hantar arus saluran terhadap tegangan tarik dan andongan konduktor agar dapat meningkatkan pembangunan struktur kontruksi saluran transmisi yang sesuai dengan sifat dari konduktor serta mengoptimalkan saluran transmisi sesuai dengan kemampuan kuat hantar arusnya

1.4 Batasan Masalah

Untuk meyederhanakan masalah yang akan dibahas, maka diberikan asumsi-asumsi serta batasan-batasan sebagai berikut :

1. Analisa dilakukan dengan asumsi bahwa sistem berada dalam operasi normal.
2. Analisa pembahasan meliputi pengaruh perubahan kemampuan hantar arus saluran terhadap temperatur, pengaruh perubahan kemampuan hantar arus saluran terhadap tegangan tarik konduktor, dan pengaruh perubahan arus saluran terhadap andongan konduktor.
3. Temperatur konduktor dihitung berdasarkan persamaan kescimbangan panas.
4. Metode *Ruling Span* digunakan untuk menentukan panjang *span equivalen*.
5. Metode yang digunakan dalam perhitungan tegangan tarik dan andongan konduktor adalah Metode *Catenary*.
6. Penentuan type level menara dianggap sama
7. Jaringan yang akan dianalisa adalah jaringan transmisi 500 kV di Paiton – Kediri.
8. Analisa menggunakan bahasa pemrograman Matlab

1.5 Metodologi Pembahasan

Metode yang digunakan dalam pembahasan skripsi ini dilakukan dengan langkah – langkah :

1. Studi Literatur

Yaitu kajian pustaka dengan mempelajari teori-teori yang terkait melalui literatur yang ada, yang berhubungan dengan pengaruh perubahan arus saluran terhadap tegangan tarik dan andongan konduktor pada sistem saluran transmisi.

2. Pengumpulan Data

Pengumpulan data lapangan yang dipakai dalam objek penelitian yakni pada PT. PLN (persero) P3B REGION JAWA TIMUR & BALI serta UNIT PELAYANAN TRANSMISI KEDIRI,

- Data kuantitatif yaitu data yang dapat dihitung atau data yang berbentuk angka-angka.
 - Data kualitatif yaitu data yang berbentuk diagram, dalam hal ini adalah single line diagram GITET
3. Melakukan analisa dengan menggunakan program Matlab 7.0.
- a) Analisa temperatur konduktor dihitung berdasarkan persamaan keseimbangan panas.
 - b) Analisa perhitungan tegangan tarik dan andongan menggunakan metode *catenary*.
 - c) Analisa menentukan panjang *span equivalen* menggunakan metode *Ruling span*.

1.6 Kontribusi

Adapun kontribusi dari skripsi ini adalah mengetahui karakteristik perubahan arus saluran terhadap tegangan tarik dan andongan konduktor, dengan demikian dapat diterapkan oleh pemerintah khususnya PT. PLN (persero), dalam membangun struktur kontruksi saluran transmisi yang sesuai dengan sifat dari konduktor serta meningkatkan kapasitas penyaluran tenaga listrik.

1.7 Sistematika Pembahasan

Untuk mendapatkan arah yang tepat mengenai hal-hal yang akan dibahas maka dalam skripsi ini disusun sebagai berikut :

BAB I : PENDAHULUAN

Merupakan pendahuluan yang meliputi latar belakang yang melandasi skripsi yang dibahas, rumusan masalah, tujuan yang ingin dicapai, batasan masalah, metodologi penulisan dan sistematika penulisan.

BAB II : PERENCANAAN SALURAN UDARA TEGANGAN TINGGI

Disini akan menguraikan mengenai sistem saluran transmisi, tegangan transmisi, komponen – komponen utama saluran transmisi dan sedikit penjelasan perencanaan saluran udara tegangan tinggi

BAB III : METODE CATENART UNTUK MENGHITUNG TEGANGAN TARIK DAN ANDONGAN KONDUKTOR PADA SUTET 500 KV

Pada bab ini akan dibahas sedikit metode *Ruling Span*, teori tentang Metode *Catenary* serta perhitungan temperatur konduktor berdasarkan persamaan keseimbangan panas.

BAB IV : ANALISA PENGARUH PERUBAHAN KEMAMPUAN HANTAR ARUS SALURAN TERHADAP TEGANGAN

TARIK DAN ANDONGAN PADA SUTET 500 KV PAITON KEDIRI

Pada bab ini akan dibahas pengaruh perubahan kemampuan hantar arus saluran terhadap tegangan tarik dan andongan yang akan dianalisa menggunakan program komputer dengan menggunakan Metode *Catenary* agar diketahui karakteristiknya.

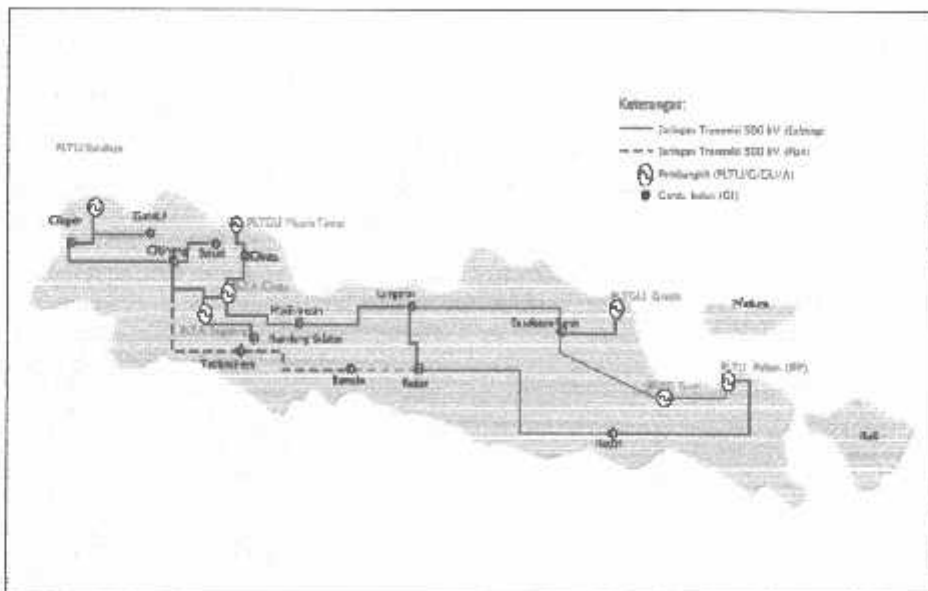
BAB V : KESIMPULAN DAN SARAN

Merupakan bab terakhir yang merupakan intisari dan hasil pembahasan, berisikan kesimpulan dan saran – saran yang dapat digunakan sebagai pertimbangan untuk pengembangan penulisan selanjutnya

BAB II

PERENCANAAN SALURAN TRANSMISI

2.1 Sistem Saluran Transmisi



Sumber : Departemen Energi dan Sumber Daya Mineral, 2005, "Rencana Umum Kefenagalistrikan Nasional"

Gambar 2-1
Jaringan Transmisi 500 kV Jawa – Bali

Tenaga listrik sangat berguna karena tenaga listrik itu dapat dengan mudah ditransportasikan/disalurankan dan juga mudah diatur. Tenaga listrik dibangkitkan di pusat-pusat listrik tenaga (PLT), seperti : tenaga air (PLTA), tenaga Uap (PLTU), tenaga panas bumi (PLTP), tenaga gas (PLTG), tenaga disel (PLTD), tenaga nuklir (PLTN), dan lain sebagainnya.

Pusat-pusat listrik tenaga itu, terutama yang menggunakan tenaga air (PLTA), umumnya terletak jauh dari tempat-tempat dimana tenaga listrik itu digunakan atau pusat-pusat beban (load centres). Karena itu tenaga listrik yang dibangkitkan harus disalurkan melalui kawat-kawat atau saluran transmisi. Karena tegangan generator pada umumnya rendah, antara 6 kV sampai 24 kV, maka

tegangan ini biasanya dinaikan dengan pertolongan transformator daya ke tingkat tegangan yang lebih tinggi antara 30 kV sampai 50 kV (di beberapa negara maju bahkan sudah sampai 1.000 kV).

Tingkat tegangan yang lebih tinggi ini, selain untuk memperbesar daya hantar dari saluran yang berbanding lurus dengan kuadrat tegangan, juga untuk memperkecil rugi-rugi daya dan jatuh tegangan pada saluran. Sudah jelas, dengan mempertinggi tegangan isolasi-pun harus lebih tinggi, dengan demikian biaya peralatan juga tinggi.

Penurunan tegangan dari tingkat tegangan transmisi pertama-tama dilakukan pada gardu induk (GI), di mana tegangan diturunkan ke tegangan yang lebih rendah, misalnya dari 500 kV ke 150 kV atau dari 150 kV ke 70 kV. Kemudian penurunan kedua dilakukan pada gardu induk distribusi dari 150 kV ke 20 kV atau dari 70 kV ke 20 kV, tegangan 20 kV ini disebut tegangan distribusi primer.

Ada dua kategori saluran transmisi: saluran udara (overhead line) dan saluran bawah-tanah (underground). Yang pertama menyalurkan tenaga listrik melalui kawat-kawat yang digantung pada tiang-tiang transmisi dengan perantara isolator-isolator, sedang saluran kategori kedua meyalurkan listrik melalui kabel-kabel bawah tanah. Kedua cara penyaluran mempunyai untung-ruginya sendiri-sendiri. Dibandingkan dengan saluran udara, saluran bawah tanah tidak terpengaruh oleh cuaca buruk, taufan, hujan, angin, bahaya petir, dan sebagainya. Lagi pula, saluran bawah-tanah lebih estetis (indah), kerena tidak tampak. Karena alasan terakhir ini, saluran-saluran bawah-tanah lebih disukai di Indonesia, terutama untuk kota-kota besar. Namun, biaya pembangunannya jauh lebih mahal

dari pada saluran udara, dan perbaikanya lebih sukar bila terjadi ganguan hubungan-singkat dan kesukaran-kesukaran.

Menurut jenis arusnya dikenal sistem arus bolak-balik (A.C. atau alternatif current) dan sistem arus searah (D.C. atau direct current). Di dalam sistem A.C. penaikan dan penurunan tegangan mudah dilakukan yaitu dengan menggunakan transformator. Itulah sebabnya maka dewasa ini saluran transmisi di dunia sebagian besar adalah saluran A.C. Di dalam sistem A.C. ada sistem satu-fasa dan sistem tiga-fasa. Sistem tiga-fasa mempunyai kelebihan dibandingkan dengan sistem satu-fasa karena (a) daya yang disalurkan lebih besar, (b) nilai sesaat (instantaneous value) konstan, dan (c) medan magnet putarnya mudah diadakan. Berhubung dengan keuntungan-keutungannya hampir seluruh penyaluran tenaga listrik di dunia dewasa ini dilakukan dengan arus bolak-balik. Namun, sejak beberapa tahun terakhir ini penyaluran arus searah mulai dikembangkan di beberapa bagian dunia ini. Penyaluran D.C. mempunyai keuntungan karena, misalnya, isolasinya yang lebih sederhana, daya guna (efficiency) yang tinggi (karena faktor dayanya 1) serta tidak adanya masalah stabilitas, sehingga dimungkinkan penyaluran jarak jauh. Namun persoalan ekonominya masih harus diperhitungkan. Penyaluran tenaga listrik dengan sistem D.C. baru dianggap ekonomis bila jarak saluran udara lebih jauh dari 640 km atau saluran bawah-tanah lebih panjang dari 50 km. Ini disebabkan karena biaya peralatan pengubah dari A.C. ke D.C. dan sebaliknya (converter dan inverter equipment) mahal.

2.2 Tegangan Transmisi

Untuk daya yang sama, maka daya-guna penyaluran naik oleh karena hilang-daya transmisi turun, apabila tegangan transmisi ditinggikan. Namun, peninggian tegangan transmisi berarti juga penaikan isolasi dan biaya peralatan dan gardu induk. Oleh karena itu, pemilihan tegangan transmisi dilakukan dengan memperhitungkan daya yang disalurkan, jumlah rangkaian, jarak penyaluran, keandalan (reliability), biaya peralatan untuk tegangan tertentu, serta tegangan-tegangan yang sekarang ada dan yang direncanakan. Kecuali itu, penentuan tegangan harus juga dilihat dari segi standarisasi peralatan yang ada. Penentuan tegangan merupakan bagian dari perancangan sistem secara keseluruhan.

Di Jepang, tegangan kawat antara dua fasa (line-to-line) pada saluran transmisi distandarisasikan sebagai berikut :

Tegangan Nominal (kV) : 11 – 22 – 33 - (66, 77) – 110 - (154, 187) - (220, 275)

- 500

Tegangan Kerja maksimum (kV) : 11,5 – 23 - 34,5 – 69 - 80,5 – 115 – 161 – 195,5
– 230 - 287,5 – 525

Di suatu daerah tertentu, hanya dipakai salah satu dari dua tegangan dalam tanda kurung.

Di negara-negara lain juga dipakai tegangan-tegangan nominal 132 kV, 330 kV, 380 kV, 440 kV, dan 700 kV.

Meskipun tidak jelas menyebutkan keperluannya sebagai tegangan transmisi, di Indonesia, pemerintah telah menetapkan deretan tegangan tinggi sebagai berikut :

Tegangan Nominal Sistem : (30) – 66 – 110 – (150) – 220 – 380 – 500

Tegangan Tertinggi untuk Perlengkapan : (36) – 72,5 – 123 – (170) – 245 – 420 –
525

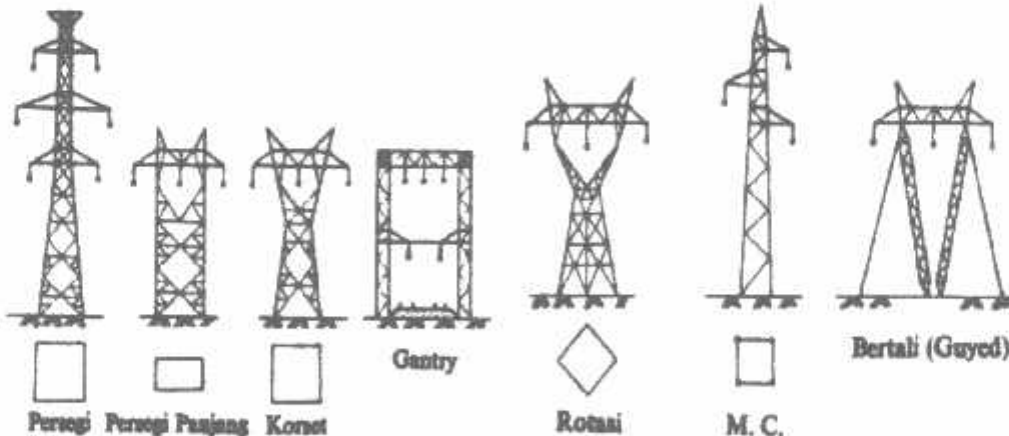
Tegangan nominal 30 kV hanya diperkenalkan untuk daerah asuhan dimana tegangan distribusi primer 20 kV tidak dipergunakan. Tegangan nominal 150 kV tidak dianjurkan dan hanya diperkenalkan berdasarkan hasil studi khusus. Penentuan deretan tegangan di atas disesuaikan dengan rekomendasi Internasional Electrotechnical Commission.

2.3 Komponen-komponen utama saluran transmisi

Komponen-komponen utama dari saluran transmisi terdiri dari :

1. Menara transmisi atau tiang transmisi beserta fondasinya,
2. Isolator-isolator,
3. Kawat penghantar (conductor), dan
4. Kawat tanah (ground wires).

2.3.1 Menara atau Tiang Transmisi



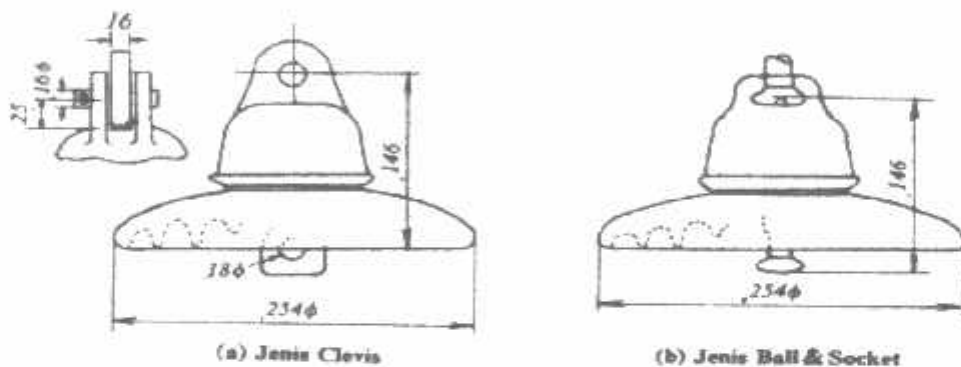
Sumber : Arismunandar, "Teknik Tenaga Listrik jilid II".

Gambar 2-2
Jenis-jenis Menara Baja

Menara atau tiang transmisi adalah suatu bangunan penopang saluran transmisi, yang bisa berupa menara baja, tiang baja, tiang beton bertulang dan tiang kayu umumnya digunakan pada saluran-saluran dengan tegangan kerja relative rendah (di bawah 70 kV) sedang untuk saluran transmisi tegangan tinggi atau ekstra tinggi digunakan menara baja.

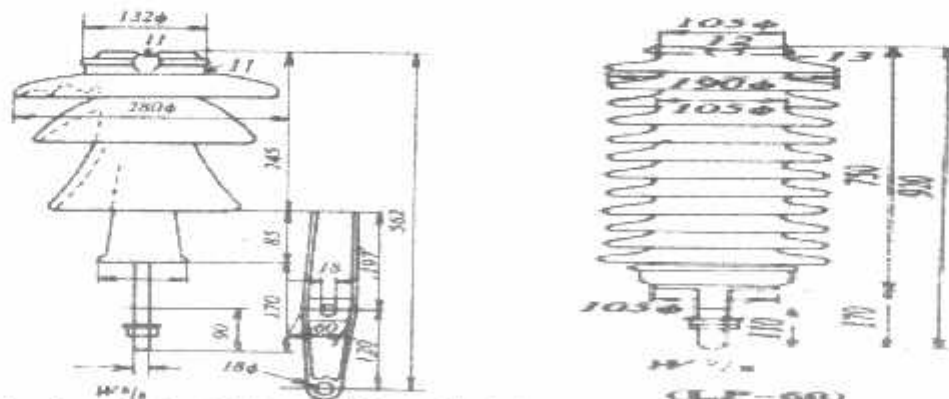
Menara baja dibagi sesuai dengan fungsinya, yaitu : menara pendukung, menara sudut, menara ujung, menara percabangan dan menara transposisi.

2.3.2 Isolator-isolator



Sumber : Hutahuruk, "Transmisi Daya Listrik".

Gambar 2-3
Isolator Gantung 250 mm



Sumber : Hutahuruk, "Transmisi Daya Listrik".

Gambar 2-4
Isolator Jenis Pasak dan Isolator Pos Saluran

Jenis isolator yang digunakan pada saluran transmisi adalah jenis porselin atau gelas. Menurut penggunaan dan konstruksinya dikenal tiga jenis isolator, yaitu : isolator jenis pasak, isolator jenis pos-saluran dan isolator gantung.

Isolator jenis pasak dan pos-saluran digunakan pada saluran transmisi dengan tegangan kerja relatif rendah (kurang dari 22 – 33 kV), sedang isolator gantung dapat digandeng menjadi rentengan isolator yang jumlahnya disesuaikan dengan kebutuhan.

2.3.3 Kawat Penghantar

Jenis-jenis kawat penghantar yang biasa digunakan pada saluran transmisi adalah tembaga dengan konduktivitas 100% (CU 100%), tembaga dengan konduktivitas 97,5% (CU 97,5) atau aluminium dengan konduktivitas 61% (AL 61%). Kawat penghantar aluminium terdiri dari berbagai jenis dengan lambang sebagai berikut :

AAC = “All-Aluminium Conductor”, yaitu kawat penghantar yang seluruhnya terbuat dari alumunium.

AAAC = “All-Aluminium-Alloy Conductor”, yaitu kawat penghantar yang seluruhnya terbuat dari campuran alumunium.

ACSR = “Alumunium Conductor, Steel-Reinforced”, yaitu kawat penghantar aluminium ber-inti kawat baja.

ACAR = “ Alumunium Conductor, Alloy-Reinforced”, yaitu kawat penghantar aluminium yang diperkuat dengan logam campuran.

Kawat penghantar tembaga mempunyai beberapa kelebihan dibandingkan dengan kawat penghantar aluminium karena konduktivitas dan kuat tariknya lebih tinggi, tetapi kelemahannya ialah, untuk besar tahanan yang sama, tembaga lebih berat dari aluminium, dan juga lebih mahal. Oleh karena itu kawat penghantar aluminium telah menggantikan kedudukan tembaga.

Untuk memperbesar kuat tarik dari kawat aluminium digunakan campuran aluminium (aluminium alloy). Untuk saluran-saluran transmisi tegangan tinggi, di mana jarak antara dua tiang/menara jauh (ratusan meter), dibutuhkan kuat tarik yang lebih tinggi. Untuk itu digunakan kawat hantar ACSR.

2.3.4 Kawat Tanah

Kawat tanah atau “ground wires” juga disebut sebagai kawat pelindung (“shield wires”) gunanya untuk melindungi kawat-kawat penghantar atau kawat-kawat fasa terhadap sambaran petir. Jadi kawat tanah itu dipasang di atas kawat fasa. Sebagai kawat tanah umumnya dipakai kawat baja (steel wires) yang lebih murah, tetapi tidaklah jarang digunakan ACSR.

2.4 Perencanaan Saluran Udara Tegangan Tinggi

Perencanaan saluran udara tegangan tinggi terdiri dari :

1. Survey, pengukuran dan pemetaan rute dari saluran.
2. Pengujian tanah tempat menara-menara, dan berdasarkan keadaan tanah setempat direncanakan pondasi menara.
3. Perencanaan dari menara beserta traversnya.
4. Penentuan dari jarak-jarak antar kawat-kawat.

5. pemeliharaan kawat (konduktor) yang ekonomis.
6. Penentuan jumlah isolator.
7. Perhitungan tegangan tarik dan andongan (sag and tension calculation) dari kawat yang dibentang.

2.4.1 Survey, pengukuran dan pemetaan rute dari saluran.

Pemilihan lintasan yang akan dilalui saluran transmisi merupakan persoalan pokok bagi pembangunan saluran tersebut. Untuk ini perlu diadakan studi dan survey yang mendalam guna memungkinkan pembangunan saluran secara ekonomis dan dapat diandalkan, baik dilihat dari pembangunan sendiri, maupun dari perawatannya nanti. Faktor-faktor yang terpenting adalah:

- 1) Keadaan cuaca (angin, hujan, salju, petir, dsb.).
- 2) Keadaan tanah (kemungkinan longsor, banjir, rawa, dsb.).
- 3) Kondisi pengangkutan (pengangkutan barang dan bahan bagi pembangunan dan perawatan).
- 4) Letak terhadap bangunan-bangunan lain (saluran telekomunikasi, simpangan jalan raya, jalan kereta api, dsb.).
- 5) Bangunan perumahan (dijauhkan dari perumahan manusia).

Dari hasil survey ditentukan tinggi konstruksi, jenis menara dan cara menggantungkan kawat-kawat penghantarnya, pada pokoknya kegiatan survey itu meliputi hal-hal berikut:

- a) Survey garis pusat: di sini garis pusat (centerline) saluran ditetapkan; demikian pula kedudukan konstruksi penopangnya terhadap garis pusat tersebut.

- b) Survey profil: di sini perbedaan tertinggi permukaan tanah dan lebar gawang (penampang tegak) ditetapkan sepanjang garis pusat tadi.
- c) Survey tampak atas (plan survey); keadaan 50-100 m di kiri kanan garis pusat diperiksa.
- d) Survey lokasi menara (tower site study): di sini jumlah tanah galian, cara pembuatan pondasi, dsb. Diselesaikan.
- e) Survey khusus: yang dilakukan adalah penyediaan khusus dalam penycherangan sungai, pertemuan dengan saluran lain, perhitungan induksi elektromagnetik terhadap saluran komunikasi, dsb.

2.4.2 Pengujian tanah tempat menara-menara, dan berdasarkan keadaan tanah setempat direncanakan pondasi menara.

Pekerjaan-pekerjaan pondasi yang terpenting meliputi pemberian tanda-tanda, penggalian, pemasangan tonggok (stub setting), pengecoran beton, pengukuran.

Pemberian tanda-tanda (staking) dilakukan menurut rencana pondasi dengan mengingat tanda pusat (center peg) dari menara dan saluran.

Penggaliannya dilakukan dengan berbagai cara tergantung dari kondisi tanahnya. Dalam-penggalian serta lebar dasar lobangnya harus sesuai dengan yang telah direncanakan. Ada lima cara penggalian:

- 1) Penggalian biasa (plain excavation), yaitu penggalian biasa, tanpa persyaratan tertentu; kemiringan tebingnya tertentu.

- 2) Penggalian dengan penguatan kayu (timbering excavation), yaitu dengan menanamkan balok-balok kayu ke dalam tanah agar tidak terjadi klongsoran waktu penggalian; diterapkan bila tanahnya mudah longsor dan mengeluarkan air.
- 3) Penggalian dengan tong kayu (pail excavation), dilakukan bila tanahnya mudah longsor dan banyak sekali mengeluarkan air. Sebuah tong kayu tanpa dasar dipasang dan penggaliannya dilakukan di dalam air. Akhirnya dicor beton pada dasar tong ini untuk menghentikan aliran air tersebut.
- 4) Penggalian dengan tabung silinder (case excavation), dilakukan untuk penggalian di sungai, bila cara dengan ember tidak mungkin. Di sini sebuah tabung silinder tanpa dasar yang dibuat dari beton bertulang ditempatkan dan penggaliannya dilakukan di dalam tabung itu. Tabung itu sendiri dibenamkan ke dalam sungai dengan beban mekanis.
- 5) Penggalian sumber (well point excavation), dilakukan pada tanah pasir yang berair. Sejumlah pipa ditanam di dalam tanah di sekitar tempat yang akan digali. Kemudian air yang dikandung di dalam tanah di sedot dari pipa tadi oleh sebuah pompa. Bila tanahnya sudah kering maka penggaliannya dapat dilakukan dengan cara (1).

Tahap berikutnya adalah pemasangan tonggaok (stub). Tonggol ini dipasang pada balok beton yang ditempatkan pada dasar pondasi. Bila tanahnya tidak kokoh atau bila pondasinya berkisi (grillage), maka ditambahkan pecahan

batu sebagai penguat. Bila kondisi tanah buruk, maka dipasang pancang-pancang (piles) untuk menguatkan pondasinya.

Pekerjaan beton terdiri dari pengecoran campuran semen, pasir, kerikil (atau pecahan batu) dan air dalam perbandingan tertentu dalam cetakan plat baja atau kayu.

Pengukuran kembali penting artinya bagi kekuatan pondasi. Karena itu dalam pengukuran kembali tanahnya harus dientarkan (rammed) sebaik-baiknya dengan tanah aslinya.

2.4.3 Perencanaan dari menara beserta traversnya

Bila pondasinya selesai, bagian atas kontruksi didirikan. Ada dua cara pendiriannya:

- a) Cara menyusun ke atas (assemble).
- b) Cara menarik ke atas (pulling up).

Dalam cara pertama menara disusun ke atas bagian demi bagian. Setiap bagian digantung dengan pengangkat (lifting rod) untuk kemudian disekrup. bagian yang satu diatas yang lain,

Cara lain adalah dengan lebih dahulu menyekrup bagian-bagiannya satu sama lain di tanah, untuk kemudian seluruh menaranya didirikan dengan keran atau mesin pengangkat lain (winch). Cara ini tepat guna pemakaian dimana alat-alat pengangkat berat semacam itu mudah diadakan serta mudah dibawa ke tempat-tempat pendirian menara. Di daerah pegunungan yang sukar dicapai bagian-bagian menara diangkat dengan helikopter lalu disusun ditempat dimana akan didirikan.

2.5 Perhitungan Tegangan Tarik dan Andongan Konduktor

- Perhitungan andongan dan tegangan tarik konduktor yang ditunjang oleh menara yang sama tinggi sebagai berikut:

dengan:

$$C = \frac{H}{G}, \text{ meter}$$

- Perhitungan andongan dan tegangan tarik konduktor yang ditunjang oleh menara yang berbeda tingginya:

$$b_s = \frac{a^2 + h^2}{8C} \quad \dots \dots \dots \quad (2.3)$$

2.6 Pengaruh Tekanan Angin

Berat spesifik dari kawat juga dipengaruhi tekanan yang ditimbulkan oleh angin. Dimana tekanan angin dianggap bekerja secara horizontal terhadap kawat sedangkan berat kawat itu sendiri dianggap bekerja secara vertikal. Resultan dari keduanya merupakan berat total spesifik dari kawat. Secara umum tekanan angin dinyatakan dengan rumus :

P-fpF

dengan:

P = tekanan angin (kg)

f = faktor bentuk

$$p = \text{tekanan angin spesifik (kg/mm}^2\text{)}$$

$$= v^2 / 16 (\text{kg/mm})$$

$$v = \text{kecepatan angin (m/detik)}$$

$$F = \text{luas permukaan kawat yang tegak lurus dengan arah angin (m}^2\text{)}$$

Oleh karena tekanan angin tidak merata maka digunakanlah suatu koefesien ketidak-samaan : d (di Indonesia di ambil d=0.75) sehingga persamaan tersebut akan berubah menjadi :

$$P = f d p F$$

Nilai dari pada p akan bergantung dari tinggi kawat diatas permukaan tanah.

Besarnya nilai p dapat dilihat pada tabel 2.1:

**Tabel 2-1
Tekanan Angin Spesifik**

Tinggi Kawat di Atas Tanah (m)	P (kg/m ²)	v (m/detik)
0-25	60	31
25-60	70	33,5
60-100	90	38
100-250	115	43
150-200	130	43,5

Sumber : Hutahuruk, "Transmisi Daya Listrik".

Besarnya faktor bentuk (f) bergantung pada diameter kawat. Nilai faktor bentuk (f) ini dapat dilihat pada tabel 2.2 dibawah ini:

**Tabel 2-2
Faktor Bentuk**

Diameter Kawat (mm)	Faktor Bentuk (f)
Sampai 12 mm	1,2
12-16 mm	1,1
diatas 16 mm	1,0

Sumber : Hutahuruk, "Transmisi Daya Listrik".

Untuk nilai F adalah sebesar panjang kawat \times diameter kawat. Maka :

$$W_w = Pd \quad \dots \quad (2.4)$$

dengan:

W_w = Beban angin, kg/m

W = Berat dari konduktor, kg/m

W_g = Berat akhir dari konduktor, kg/m

BAB III

METODE CATENARY UNTUK MENGHITUNG TEGANGAN TARIK PADA ANDONGAN KONDUKTOR PADA SUTET 500 KV

3.1 Analisa Perhitungan Temperatur Konduktor Akibat Perubahan Kemampuan Hantar Arus Saluran

Besarnya arus yang mengalir pada konduktor menyebabkan timbulnya rugi-rugi berupa panas. Hal ini menyebabkan suhu dari konduktor akan meningkat seiring dengan kenaikan arus beban pada konduktor tersebut. Untuk menghitung besarnya panas konduktor akibat dari kenaikan arus beban ini digunakan persamaan keseimbangan panas pada saluran transmisi udara yang menyatakan bahwa jumlah panas yang dibangkitkan dalam konduktor adalah sama dengan jumlah panas yang disebarluaskan. Oleh karena itu perlu dicari besarnya jumlah panas dari kedua ruas persamaan.

3.1.1 Panas Yang Dibangkitkan Oleh Konduktor

Panas yang dibangkitkan oleh konduktor meliputi panas yang ditimbulkan oleh rugi-rugi listrik yaitu :

dengan:

$I = \text{arus penghantar (A)}$

R_m = hambatan dari konduktor pada temperatur maksimal (Ω/meter)

$$= \frac{1 + \alpha t}{1 - 2\alpha} R_{20}$$

Selain itu juga akan timbul panas yang disebabkan oleh pencucian panas dari matahari terhadap konduktor sebesar :

$$W_s = \alpha E dc \text{ (W/m)} \dots \quad (3.2)$$

dengan:

α – koefisien serap matahari

$a = 1$, untuk benda hitam:

$\alpha = 0.6$, untuk konduktor baru

E – intensitas radiasi matahari($1000 \sim 1500 \text{ W/m}^2$)

dc = diameter konduktor (m)

3.1.2 Penyebaran Panas Konduktor

Panas yang dibangkitkan dalam konduktor akan disebarluaskan secara radiasi dan konveksi. Panas yang disebarluaskan secara radiasi sesuai dengan hukum Stefan Boltzmann yang menyatakan bahwa jumlah panas tersebar oleh radiasi berbanding pangkat empat dari suhu mutlak pengantar .

dengan:

τ = konstanta Stefan-Bolzmana (5.702×10^{-8} Watt/m²)

e = emisivitas relatif permukaan konduktor yang bernilai antara 0.2 -1.0

= 1, untuk benda hitam

= 0.5, untuk Al atau Cu teroksidasi

T_c = temperatur konduktor ($^{\circ}\text{K}$)

$$= 273 + t$$

T_a = temperatur sekeliling ($^{\circ}\text{K}$)

$$= 273 + t_0.$$

Sehingga persamaan panas diatas dapat dituliskan menjadi:

$$W_c = 17.9 \times 10^{-8} \cdot e \cdot (T_c^4 - T_g^4) \cdot dc \quad \dots \dots \dots (3.4)$$

Sementara itu panas yang dibebarkan secara konveksi adalah:

dengan:

P = tekanan udara (atmosfir)

V_m – kecepatan angin (m/detik)

Δt = kenaikan temperatur ($^{\circ}\text{C}$)

$$= t - ta$$

Apabila panjang konduktor memiliki luas $\pi \cdot dc \text{ m}^2$, maka :

3.1.3 Persamaan Keseimbangan Panas

Persamaan keseimbangan panas menyatakan bahwa jumlah panas yang dibangkitkan dalam konduktor adalah sama dengan panas yang disebarkannya, oleh karena itu persamaan tersebut dapat dinyatakan sebagai berikut :

$$I^2 R + \alpha \cdot E \cdot dc = 18, \Delta t \sqrt{pVm \cdot dc} + 17,9 \times 10^{-8} \cdot e (T_c^4 + T_o^4) \cdot dc, \dots \dots (3.8)$$

Dari persamaan (8) dapat diuraikan ke dalam bentuk persamaan polynomial orde empat untuk mencari besarnya temperatur konduktor T_c . Bentuk persamaan polynomial orde empat adalah:

$$C_3 \Delta t^4 + 4C_5 T_a \Delta t^3 + 6C_3 T_a^2 \Delta t^2 + (4C_3 T_a^3 + 18C_2) \Delta t - I^2 R - C_1 = 0 \dots (3.9)$$

dengan:

$$C_1 = \alpha \cdot E \cdot d_C$$

$$C_2 = \sqrt{pVm/dc}.$$

$$C_3 = 17.9 \times 10^{-8} \cdot c$$

Persamaan tersebut dapat digunakan untuk menentukan temperatur kerja konduktor sebagai akibat perubahan arus saluran.

3.2 Perhitungan Tegangan Tarik dan Andongan Konduktor

Tegangan tarik horizontal konduktor dapat diketahui dari persamaan (10) dibawah ini :

$$K = f_1 \cdot \frac{\delta^2 \times q_1^2 \times s^2 \times E}{24 \times f_1^2} \dots \quad (3.11)$$

dengan:

W – berat dari konduktor (kg/m).

$A = \text{Luas penampang konduktor (mm}^2\text{)}.$

W_a = berat akhir dari konduktor (kg/m).

T = tegangan atau *tension* (Kg).

$s = \text{jarak antar menara (m)}$.

E – Modulus elástico (kg/mm^2).

Selanjutnya dapat dihitung tegangan tarik konduktor sebagai berikut:

- Mcnara yang sama tingginya.

Untuk mencari perhitungan andongan dan tegangan tarik dari 2 menara transmisi yang sama tingginya adalah sebagai berikut :

$$d = \frac{W \times s^2}{8T} \quad \dots \dots \dots \quad (3.17)$$

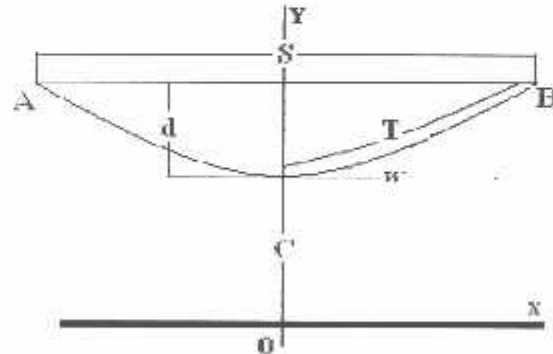
$$T_{AB} = T \left[1 + \frac{1}{8} \left(\frac{W \times s}{T} \right)^2 \right] \quad \dots \dots \dots \quad (3.19)$$

dengan:

d = andongan (m).

L = panjang konduktor (m).

T_{AB} = tegangan tarik horisontal (Kg).



Gambar 3-1
Menara Sama Tinggi

- Menara yang tidak sama tingginya.

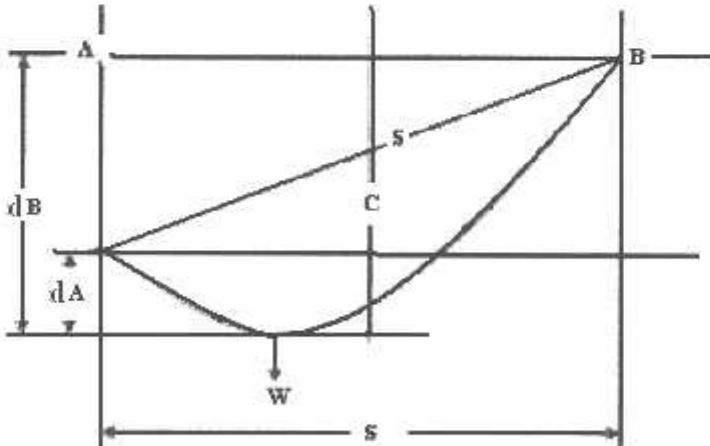
Untuk mencari perhitungan andongan dan tegangan tarik dari 2 menara transmisi yang tidak sama tingginya adalah sebagai berikut:

$$d_A = d \left(\frac{h}{4d} - 1 \right)^2 \dots \dots \dots \quad (3.22)$$

$$T_{A^R} = T + (W \times d_{A^R}) \dots \quad (3.25)$$

$$T_A = T + (W \times d_e) \dots \quad (3.26)$$

$$T_B = T + (W \times d_B) \dots \quad (3.27)$$



Gambar 3-2
Menara Tidak Sama Tinggi

3.3 Perhitungan Span Equivalen

Mengingat panjang span dari masing-masing menara tidak sama, maka span equivalen dihitung dengan menggunakan metoda *Ruling Span* yaitu :

$$L_e = \sqrt{\left(\frac{L_1^3 + L_2^3 + L_3^3 + \dots + L_n^3}{L_1 + L_2 + L_3 + \dots + L_n} \right)} \dots \dots \dots (3.28)$$

dengan:

L_n = panjang span ke-n

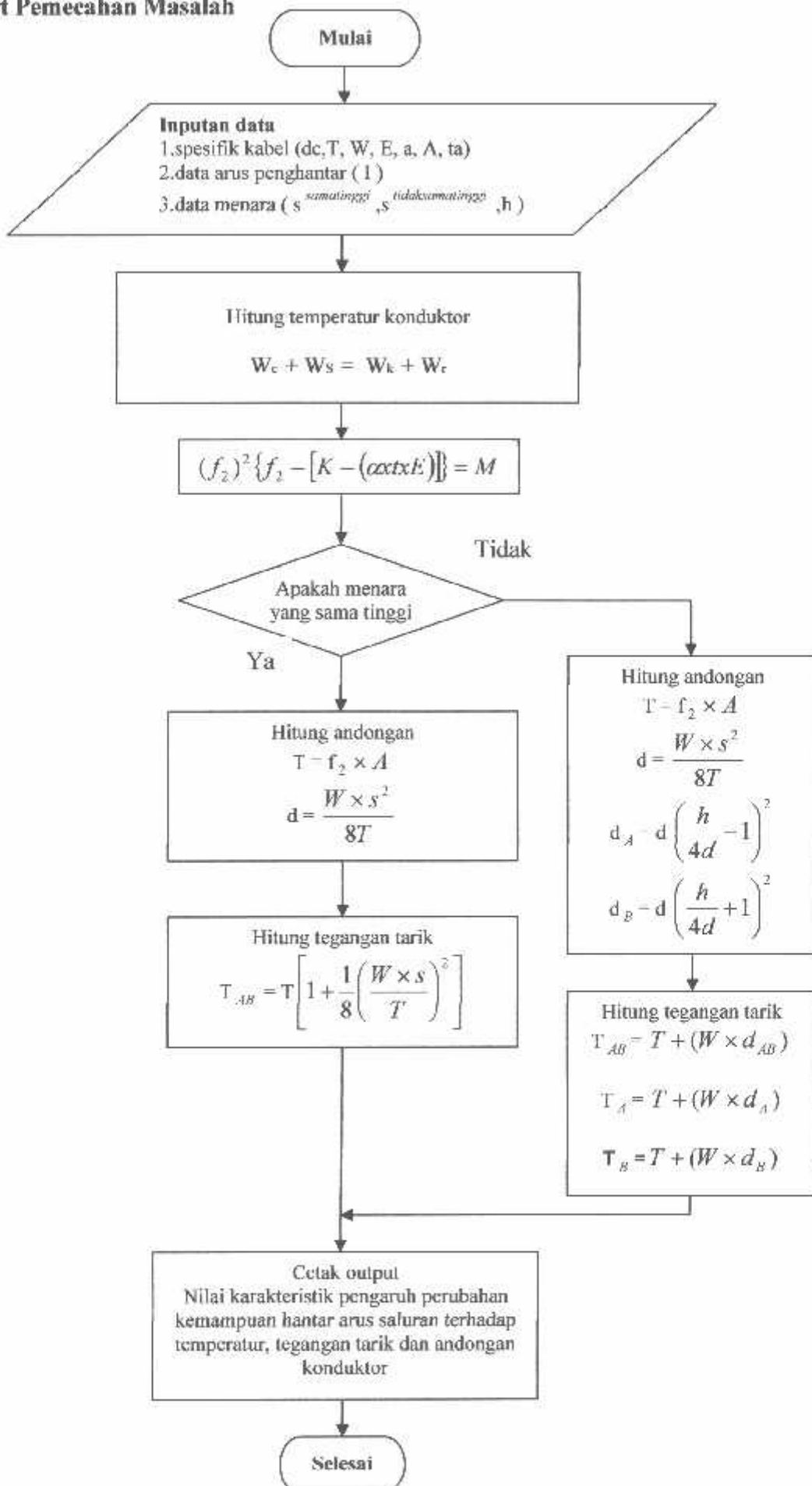
L_e = panjang span equivalent

3.4 Algoritma Pemecahan Masalah

Langkah-langkah algoritma pemecahan masalah menggunakan Matlab 7.0 adalah sebagai berikut :

1. Mulai
2. Memasukan inputan data berupa data cabel dan data rugi-rugi listrik
3. Menghitung temperatur konduktor akibat perubahan arus saluran dengan menggunakan persamaan kescimbangan panas
4. Apakah kedua menara transmisi sama tinggi *jika Tidak* gunakan perhitungan dengan dua menara tidak sama tinggi, *jika Ya* gunakan perhitungan dengan dua menara sama tinggi
5. Menghitung andongan konduktor yang dipengaruhi oleh arus saluran
6. Menghitung tegangan tarik konduktor yang dipengaruhi oleh arus saluran
7. Cetak output
8. Selesai

Flowchart Pemecahan Masalah



Gambar 3-3
Flowchart Pemecahan Masalah

BAB IV

ANALISA PENGARUH PERUBAHAN KEMAMPUAN HANTAR ARUS SALURAN TERHADAP TEGANGAN TARIK DAN ANDONGAN PADA SUTET 500 KV PAITON – KEDIRI

SUTET adalah fasilitas penyaluran daya listrik antara gardu induk melalui konduktor dengan tegangan kerja 500 kV. Pada SUTET Paiton-Kediri menggunakan konduktor ACSR jenis Gannet 4 x 392,84 mm² sepanjang 210,35 km.

Faktor-faktor yang harus diperhatikan dalam SUTET adalah sebagai berikut:

4.1 Rute

Pada SUTET 500 kV Paiton-Kediri sepanjang 210,35 km melalui :

- Perumahan
- Jalan raya
- Sawah
- Perkebunan tebu
- Tegalan
- Pabrik

4.2 Menara transmisi

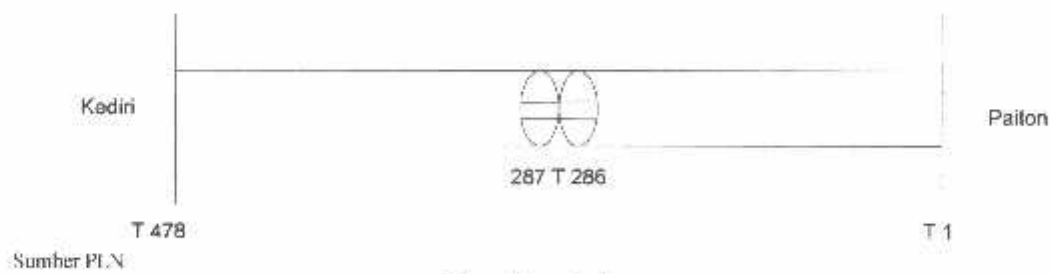
Berdasarkan referensi hasil survey yang dilakukan oleh pihak PLN dan konsultan type-type menara yang digunakan adalah sebagai berikut:

Tabel 4-1
Jumlah Menara SUTET 500 kV di Paiton-Kediri

Tipe Menara	Ketinggian dan Jumlah Menara (meter/set)							
	H-3	H+0	H+3	H+6	H+9	H+12	H+15	H+18
AA	26	68	96	140	57	21	7	-
BB	4	9	11	28	-	-	-	-
CC	1	3	4	2	-	-	-	-
DD	2	4	3	1	-	-	-	-
EE	-	1	-	-	-	-	-	-
FF	-	5	-	1	-	-	-	-
GG	-	-	2	-	-	-	-	-

Jumlah keseluruhan dari tower yang terpasang pada SUTET 500 kV di Paiton-Kediri ialah 489 tower, yang terbagi menjadi dua wilayah unit pelayanan transmisi sebagai berikut :

1. Wilayah UPT Probolinggo (Tower 1-287) = 287 tower + 2 senandang penurun.
2. Wilayah UPT Kediri (Tower 287-478) = 207 tower

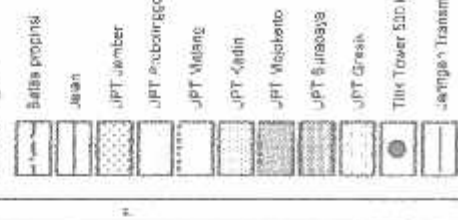


Gambar 4-1
Skema Tower yang terpasang pada SUTET 500 kV Paiton-Kediri

**Arus Saluran Terhadap Andongan Dan
egangan Tank Dengan Program: Matlab
Pada SUSET 500 KV di Paiton-Keciri**

Digitized by srujanika@gmail.com

Kontrollen



Ingrid Pettersen

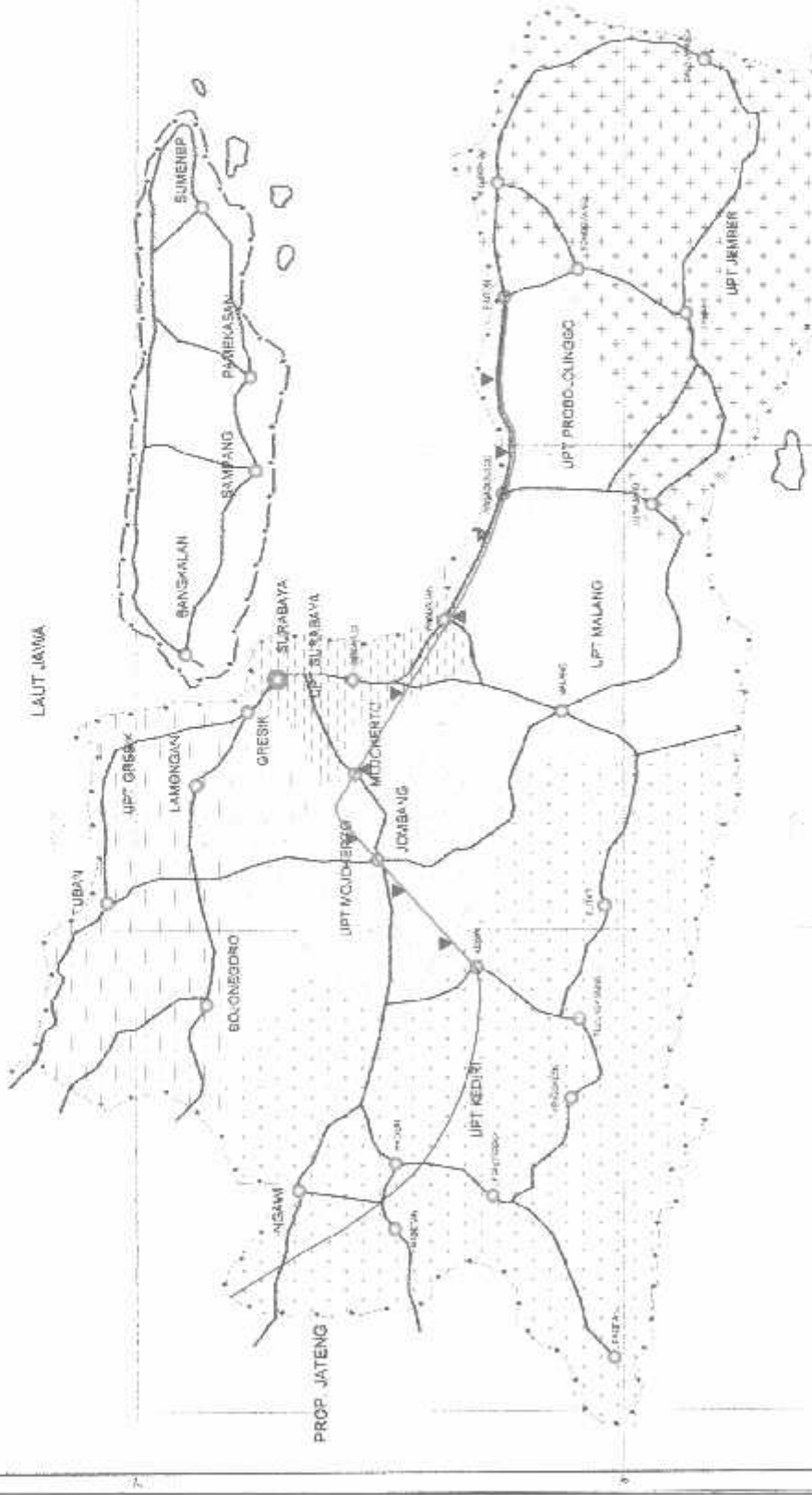


SKALA

SKALA
1 : 3 000 000

T

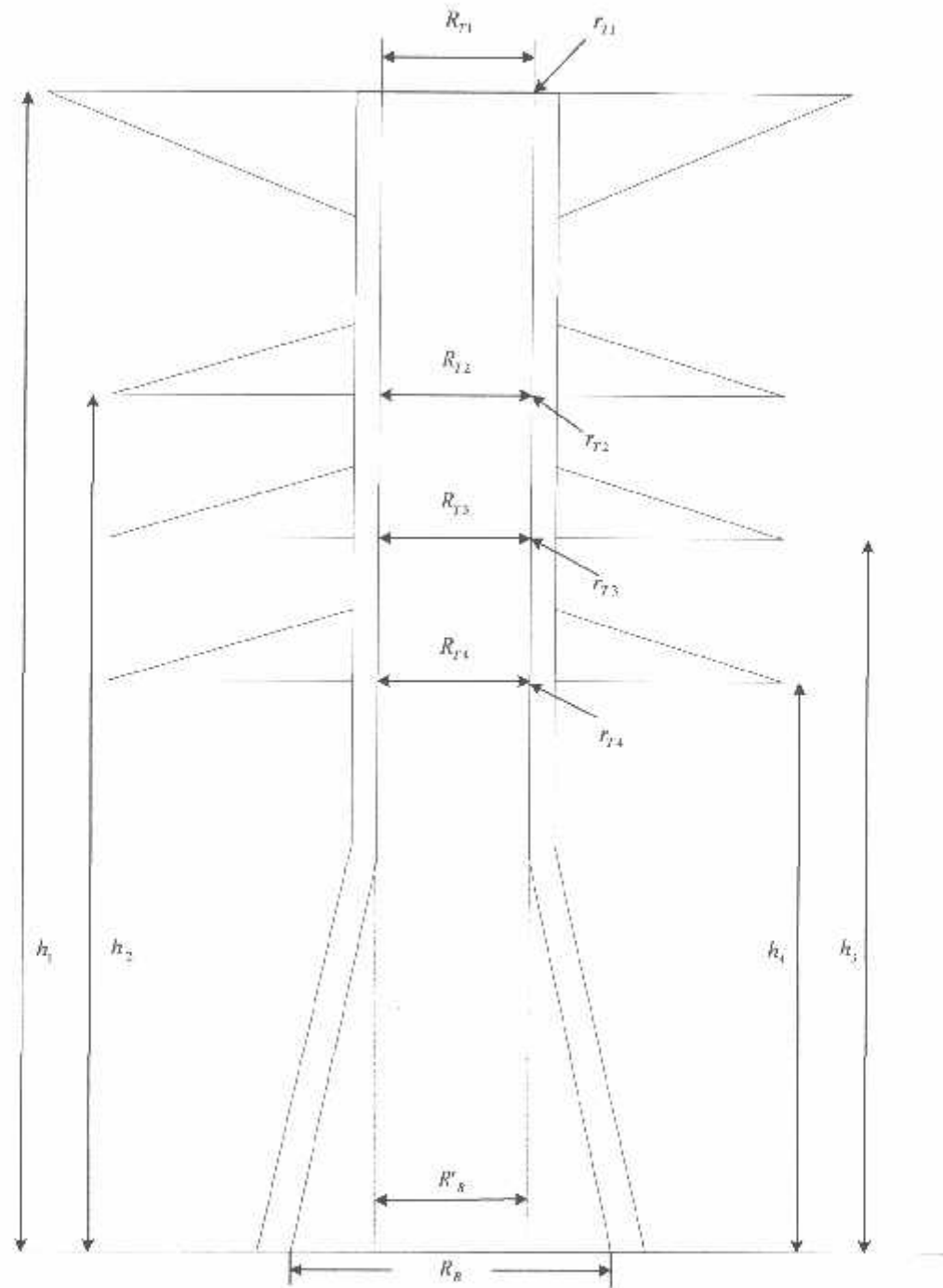
186



JAWA TIMUR

Gambar 4-2 Peta Persebaran Tower 500 kV Paiton-Kediri

Untuk melakukan perhitungan andongan dan tegangan tarik dari konduktor pada menara transmisi diperlukan data-data yang terlihat pada gambar sebagai berikut



Gambar 4-3
Skema Menara Transmisi

di mana :

h_1 = ketinggian kawat tanah terhadap tanah.

h_{c} = ketinggian crossarm bagian atas terhadap tanah.

h_1 = ketinggian crossarm bagian tengah terhadap tanah.

h_4 = ketinggian crossarm bagian bawah terhadap tanah.

r_{T1} = penambahan lebar menara transmisi pada bagian atas.

r_{T2} = penambahan lebar menara transmisi pada bagian atas crossarm.

r_{T3} = penambahan lebar menara transmisi pada bagian tengah crossarm.

r_{TA} = penambahan lebar menara transmisi pada bagian bawah crossarm.

R_{T1} = lebar menara transmisi pada bagian atas.

R_{T2} = lebar menara transmisi pada bagian atas crossarm.

R_{T3} = lebar menara transmisi pada bagian tengah crossarm.

R_{1A} = lebar menara transmisi pada bagian bawah crossarm.

$r_{\text{g}} =$ penambahan lebar menara transmisi pada bagian bawah.

R_u = lebar menara transmisi pada bagian bawah.

R'_{B} = lebar menara transmisi pada bagian bawah kaki menara.

Adapun data-data mengenai menara transmisi yang dapat dilihat pada tabel berikut ini :

Tabel 4-2
Tipe Menara AA Ukuran dalam Meter

Tipe Menara AA Ukuran dalam Meter (sambungan)

Bagian Menara	H-3	H-0	H+3	H+6	H+9	H+12	H+15	H+18
R_{T1}	2.45	2.45	2.45	2.45	2.45	2.45	2.45	2.45
h_2	50.29	53.29	56.29	59.29	62.29	65.29	68.29	71.29
r_{T2}	0.23	0.23	0.23	0.23	0.23	0.23	0.23	0.23
R_{T2}	2.85	2.85	2.85	2.85	2.85	2.85	2.85	2.85
h_3	37.99	40.99	43.99	46.99	46.99	49.99	52.99	55.99
r_{T3}	0.26	0.26	0.26	0.26	0.26	0.26	0.26	0.26
R_{T3}	3.3	3.3	3.3	3.3	3.3	3.3	3.3	3.3
h_4	25.59	28.59	31.59	34.59	37.59	40.59	43.59	46.59
r_{T4}	0.3	0.3	0.3	0.3	0.3	0.3	0.3	0.3
R_{T4}	3.8	3.8	3.8	3.8	3.8	3.8	3.8	3.8
r_B	0.2	0.2	0.2	0.2	0.2	0.2	0.2	0.2
R_B	11.27	11.27	11.27	11.27	11.27	11.27	11.27	11.27
R'_B	5.5	5.5	5.5	5.5	5.5	5.5	5.5	5.5

Sumber : Data dari PLN

Tabel 4-3
Tipe Menara BB-CC Ukuran dalam Meter

Bagian Menara	H-3	H+0	H+3	H+6	H+9	H+12	H+15	H+18
h_1	66.8	69.8	72.8	75.8	78.8	81.8	84.8	87.8
r_{T1}	0.1	0.1	0.1	0.1	0.1	0.1	0.1	0.1
R_{T1}	3.5	3.5	3.5	3.5	3.5	3.5	3.5	3.5
h_2	55.3	58.3	61.3	64.3	67.3	70.3	73.3	76.3
r_{T2}	0.15	0.15	0.15	0.15	0.15	0.15	0.15	0.15
R_{T2}	4.5	4.5	4.5	4.5	4.5	4.5	4.5	4.5
h_3	43.8	46.8	49.8	52.8	55.8	58.8	61.8	64.8

Tipe Menara BB-CC Ukuran dalam Meter (sambungan)

Sumber : Data dari PLN

Tabel 4-4
Tipe Menara DD-EE-FF Ukuran dalam Meter

Tipe Menara DD-EE-FF Ukuran dalam Meter (sambungan)

Bagian Menara	H-3	H+0	H+3	H+6	H+9	H+12	H+15	H+18
r_n	0.25	0.25	0.25	0.25	0.25	0.25	0.25	0.25
R_g	33.1	33.1	33.1	33.1	33.1	33.1	33.1	33.1
R'_g	7.09	7.09	7.09	7.09	7.09	7.09	7.09	7.09

Sumber : Data dari PLN

4.3 Konduktor

Perlu diketahui bahwa panjang SUTET 500 kV Paiton-Kediri berdasarkan survey yang dilaksanakan oleh pihak PLN berjarak 210,35 km. sedangkan konduktor yang digunakan adalah jenis konduktor ACSR Gannet.

Data teknis mengenai konduktor ACSR Gannet yang digunakan adalah sebagai berikut :

- Panjang sirkit : $4 \times 392,84 \text{ mm}^2$.
- Panjang rute : 210,35 km.
- Jenis : ACSR Gannet.
- Diameter konduktor : 25,76 mm.
- Luas penampang : $392,84 \text{ mm}^2$.
- Ratio AL/Steel : 26/7.
- Material : Kombinasi alumunium dengan baja.
- Diameter Alumunium : 4,07 mm.
- Diameter Baja : 3,16 mm.
- Tegangan kawat : 2390 kg.
- Jumlah per-fasa : 4.

- Jumlah *spancer* per-fasa : 8.
- Jarak gawang rata-rata : 350 m.
- Berat per-kilometer : 1632,9 kg.
- Tahanan maksimal/km/20°C : 0,084249 ohm.
- Modulus elastis : $8,538 \times 10^3$ kg/mm².

4.4 Andongan

Konduktor yang direntangkan pada dua buah menara akan menyebabkan terjadinya andongan di mana dari andongan ini akan dipengaruhi oleh :

- Jarak antara menara (span).
- Berat konduktor.
- Temperatur dan angin,
- Tinggi menara.

Adapun data mengenai jarak antara menara (span) yang digunakan untuk sampel perhitungan andongan dan tegangan tarik konduktor yaitu tower 147-148 untuk perhitungan sama tinggi dan tower 169-170 untuk perhitungan tidak sama tinggi yang terlihat pada tabel berikut ini :

Tabel 4-5
Karakteristik SUTET 500 kV Paiton-Kediri

Nomor Menara	Tipe Menara	Gawang (m)	Keterangan	Lokasi
147-148	AA+3	417,5	UPT PROBOLINGGO	Sumendi
169-170	AA+3	455,00	UPT PROBOLINGGO	Sebalong

Sumber : Data dari PLN

Setelah memperoleh data-data, maka proses perhitungan pengaruh perubahan kemampuan hantar arus saluran konduktor terhadap tegangan tarik dan andongan pada menara transmisi SUTET 500 kV di Paiton-Kediri dengan panjang route 210,35 km. Dapat dihitung dengan menggunakan rumus-rumus yang terdapat di bab 3.

4.5 Perhitungan Temperatur konduktor Akibat Perubahan Kemampuan Hantar Arus Saluran

Persamaan keseimbangan panas pada saluran transmisi udara menyatakan bahwa jumlah panas yang dibangkitkan dalam konduktor adalah sama dengan jumlah panas yang disebarluaskan.

Persamaan tersebut adalah sebagai berikut :

$$W_c + W_s = W_k + W_r$$

Data konduktor yang akan dihitung adalah sebagai berikut :

Type konduktor : ACSR Gannet.

Diameter konduktor : 25,76 mm.

Arus : 500 ampere.

α_{20}^o : 0,00403 ohm/ $^{\circ}\text{C}$.

c : 0,5.

t_a : 40°C .

p : 1 atm.

Vm : 10 ms^{-1} .

Setelah mendapatkan data-data yang lengkap seperti tersebut dari atas maka dapat dihitung :

- Panas yang ditimbulkan oleh rugi-rugi listrik.

$$W_c = I^2 R_m$$

$$\begin{aligned} R_m &= \frac{1+\alpha t}{1+20\alpha} R_{20} \\ &= \frac{1+(0,00403xt)}{1+(20x0,00403)} \times (8,4249 \times 10^{-5}) \\ &= 7,797 \times 10^{-5} (1+0,00403t) \text{ ohm/m.} \end{aligned}$$

$$\begin{aligned} W_c &= (500)^2 \times [7,797 \times 10^{-5} (1+0,00403t)] \\ &= 19,5 (1+0,00403t) \text{ Watt/m.} \end{aligned}$$

- Panas yang ditimbulkan oleh penyerapan panas dari matahari.

$$\begin{aligned} W_c &= \alpha \cdot E \cdot dc \\ &= 0,6 \times 1000 \times 0,02576 \\ &= 15,456 \text{ Watt/m.} \end{aligned}$$

- Panas yang disebarluaskan secara konveksi.

$$\begin{aligned} W_k &= 18 \cdot \Delta t \cdot \sqrt{pVm \cdot dc} \\ &= 18 \times (t-40) \sqrt{1 \times 10 \times 0,02576} \\ &= 9,14 (t-40) \text{ Watt/m.} \end{aligned}$$

- Panas yang disebarluaskan secara radiasi.

$$\begin{aligned} W_c &= 17,9 \times e \times \left[\left(\frac{273+t_c}{100} \right)^4 - \left(\frac{273+t_a}{100} \right)^4 \right] \cdot dc \\ &= 17,9 \times 0,5 \times \left[\left(\frac{273+t_c}{100} \right)^4 - \left(\frac{273+t_a}{100} \right)^4 \right] \times 0,02576 \\ &= 0,230552 \left\{ \left[\frac{273+t}{100} \right]^4 - [95,98] \right\} \text{ Watt/m.} \end{aligned}$$

Maka,

$$W_c + W_s = W_k + W_r$$

$$19,5(1 + 0,00403t) + 15,456 = 9,14(t - 4) + 0,230552 \left\{ \left[\frac{273+t}{100} \right]^4 - [95,98] \right\}$$

$$19,5 + 0,07878585t + 15,456 = 9,14t - 365,6 + [(0,230552 \times 10^{-8}) \times (273 + t)^4 - 22,128]$$

$$34,96 + 0,078585t = 9,14t + [(0,0230552 \times 10^{-8}) \times (273 + t)^4 - 387,728]$$

$$(273 + t^4) = (1833,37 - 9,061415t) \times 10^8$$

Dari persamaan diatas dapat diuraikan ke dalam bentuk polynomial orde empat untuk mencari besarnya temperatute konduktor T_c .

Bentuk persamaan polynomial orde empat adalah sebagai berikut :

$$C_1 \Delta t^4 + 4C_3 T_a \Delta t^3 + 6C_3 T_a^2 \Delta t^2 + (4C_3 T_a^3 + 18C_2) \Delta t - I^2 R - C_1 = 0$$

di mana :

$$C_1 = \alpha \cdot E \cdot dc$$

$$C_2 = \sqrt{p \cdot V_m \cdot dc}$$

$$C_3 = 17,9 \times 10^{-8} \cdot e$$

Dengan data sebagai berikut :

$$\alpha = 0,6$$

$$E = 1000 \text{ W/m}^2$$

$$dc = 0,02576 \text{ m}$$

$$p = 1 \text{ atm}$$

$$T_a = 40^\circ\text{C}$$

Persamaan tersebut dapat digunakan untuk menentukan temperatur kerja dari konduktor sebagai akibat perubahan arus saluran. Maka akan didapatkan persamaan sebagai berikut.

$$\begin{aligned} C_1 &= \alpha \cdot E \cdot d \cdot c \\ &= 0,6 \times 1000 \times 0,02576 \\ &= 15,456 \text{ Watt/m.} \end{aligned}$$

$$\begin{aligned} C_2 &= \sqrt{\rho \cdot V \cdot m \cdot d \cdot c} \\ &= \sqrt{1 \times 10 \times 0,02576} \\ &= 0,5075 \end{aligned}$$

$$\begin{aligned} C_3 &= 17,9 \times 10^{-8} \cdot e \\ &= 17,9 \times 10^{-8} \times 0,5 \\ &= 8,95 \times 10^{-8} \end{aligned}$$

$$\begin{aligned} 4C_1 &= 4 \times 17,9 \times 10^{-8} \cdot e \cdot T_a \\ &= 4 \times 17,9 \times 10^{-8} \times 0,5 \times 40 \\ &= 1,432 \times 10^{-5} \end{aligned}$$

$$\begin{aligned} 6C_2 T_a^2 &= 6 \times 17,9 \times 10^{-8} \cdot e \cdot T_a^2 \\ &= 6 \times 17,9 \times 10^{-8} \times 0,5 \times (40)^2 \\ &= 8,592 \times 10^{-4} \end{aligned}$$

$$\begin{aligned} 4C_3 T_a^3 + 18C_2 &= [4 \times 17,9 \times 10^{-8} \cdot e \cdot T_a^3] + [18 \times 0,5075] \\ &= 9,157915 \end{aligned}$$

Maka bentuk polinomialnya adalah sebagai berikut

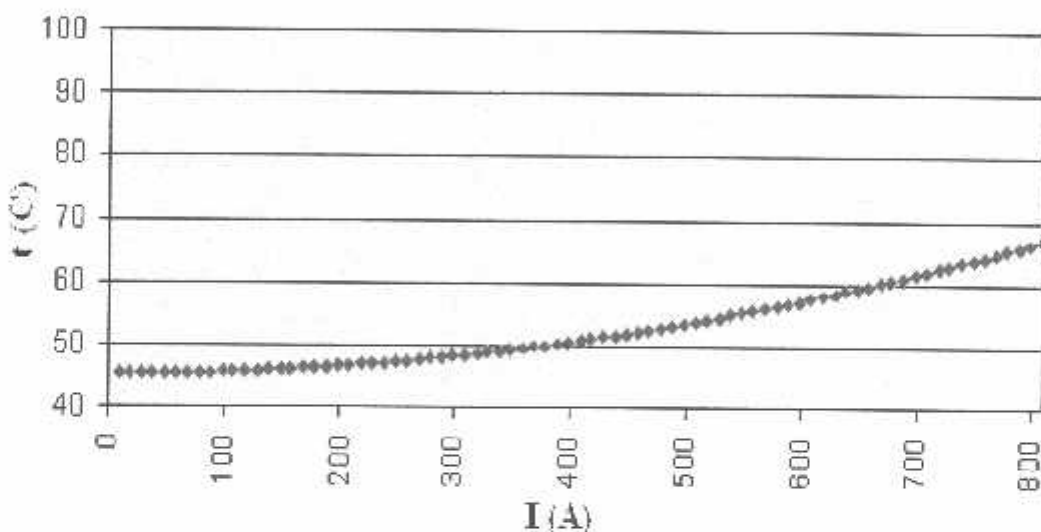
$$C_3 \Delta t^4 + 4C_3 T_a \Delta t^3 + 6C_3 T_a^2 \Delta t^2 + (4C_3 T_a^3 + 18C_2) \Delta t - I^2 R - C_1 = 0$$

$$8,95 \times 10^{-8} \Delta t^4 + 1,432 \times 10^{-5} \Delta t^3 + 8,592 \times 10^{-4} \Delta t^2 + 9,157915$$

$$\Delta t - 39,67 = 0$$

Dari bentuk persamaan polinomial orde empat tersebut akan didapatkan grafik yang menyatakan hubungan pengaruh perubahan kemampuan hantar arus saluran terhadap temperatur dari konduktor sebagai berikut :

Perubahan Kemampuan Hantar Arus Saluran Terhadap Temperatur Konduktor



Gambar 4-4
Grafik Perubahan Kemampuan Hantar Arus Saluran Terhadap Temperatur Konduktor

Panas yang dibangkitkan oleh konduktor dipengaruhi oleh temperatur dan rugi-rugi listrik sebagai akibat mengalirnya arus pada konduktor. Perhitungan awal dalam penelitian ini adalah menggunakan konduktor jenis ACSR dengan data spesifik sesuai dengan yang ada di lapangan yaitu 392.84 mm^2 .

4.6 Perhitungan Tegangan Tarik dan Andongan Konduktor

- Perhitungan andongan dan tegangan tarik konduktor yang ditunjuk oleh menara yang sama tingginya :

Dalam hal perhitungan andongan dan tegangan tarik konduktor yang ditunjang oleh menara yang sama tingginya, maka akan diambil suatu data tunggal yakni data pada menara transmisi nomor 147 dan 148 dengan data sebagai berikut :

- ❖ Menara 147 mempunyai type menara AA-3
- ❖ Menara 148 mempunyai type menara AA-3
- ❖ Selisih ketinggian di antara kedua menara tersebut adalah 0 (nol)
- ❖ Jarak menara di antara keduanya (*span*) adalah 417,5 m.

Setelah mendapatkan data-data yang telah tersebut di atas maka dapat dihitung tegangan tarik dan andongan konduktor dengan menggunakan persamaan (2.1) dan (2.2) sebagai berikut :

$$S = H + \frac{a^2 G^2}{8H}$$

Data yang diketahui adalah sebagai berikut :

$$S = 2390 \text{ N.}$$

$$a = 417,5 \text{ m.}$$

$$G = 1,6329 \text{ kg/m.}$$

Maka dapat dihitung sebagai berikut :

$$2390 = H + \left\{ \left[(417,5)^2 \times (1,6329)^2 \right] / [8H] \right\}$$

$$H = 2365,439894 \text{ kg/m.}$$

Sehingga tegangan tarik horisontalnya adalah sebesar 2365,439894 kg/m.

$$b = \frac{a^2}{8C}$$

di mana

$$C = H/G$$

$$= \frac{2365,439894}{1,6329}$$

$$= 1448,612832 \text{ m.}$$

$$b = \frac{(417,5)^2}{8 \times 1448,612832}$$

$$= 15,0408 \text{ m.}$$

Jadi besar andongan yang terjadi pada jarak kedua menara tersebut adalah sebesar 15,0408 meter.

- Perhitungan andongan dan tegangan tarik konduktor yang ditunjang oleh menara yang berbeda tingginya :

Dalam hal perhitungan andongan dan tegangan tarik konduktor yang ditunjang oleh menara yang berbeda tingginya, maka akan diambil suatu data tunggal yakni data pada menara transmisi nomor 169 dan 170 dengan data sebagai berikut :

- ❖ Menara 169 mempunyai type menara AA+3 dengan tinggi menara 31,59 m.
- ❖ Menara 170 mempunyai type menara BB+6 dengan tinggi menara 41,3 m.
- ❖ Selisih ketinggian di antara kedua menara tersebut adalah 9,71 m.
- ❖ Jarak menara di antara keduanya (*span*) adalah 455 m.

Setelah mendapatkan data-data yang telah tersebut di atas maka dapat dihitung tegangan tarik dan andongan konduktor dengan menggunakan persamaan (2.3) sebagai berikut :

$$b_s = \frac{a^2 + h^2}{8C}$$

Dari data diketahui bahwa :

$$a = 455 \text{ m.}$$

$$h = 9,71 \text{ m.}$$

maka dapat dihitung sebagai berikut :

$$b_s = \frac{(455)^2 + (9,71)^2}{8 \times 1457,186194}$$

$$= 17,76$$

Jadi besar andongan yang terjadi pada jarak antara kedua menara tersebut adalah sebesar 17,76 meter.

4.7 Perhitungan Pengaruh Perubahan Kemampuan Hantar Arus Saluran Terhadap Tegangan Tarik dan Andongan Konduktor

Sebelum melakukan proses menghitung pengaruh perubahan arus saluran terhadap tegangan tarik horizontal dan andongan konduktor maka diperlukan data-data sebagai berikut :

Luas penampang : 392,84 mm².

Diameter konduktor : 25,76 mm.

Modulus elastis : $8,538 \times 10^{-6}$ kg/mm².

Koefisien linier : $18,9 \times 10^{-6}/^\circ\text{C}$.

Tegangan kawat : 2390 Kg.

Temperatur minimum : 10°C.

Tekanan angin : 10 kg/m².

Berat konduktor : 1,6329 kg/m.

- Menara yang sama tingginya

Menara nomor 147 : AA-3

Menara nomor 148 : AA-3

Jarak antara menara : 415,7 m.

Untuk suhu 40°C maka :

$$\text{Beban angin } (W_w) = P \cdot d$$

$$= 10 \times 25,76 \times 10^{-3}$$

$$= 0,2576 \text{ kg/m.}$$

$$\text{Beban akhir } (W_a) = \sqrt{(W)^2 + (W_w)^2}$$

$$= 1,65309 \text{ kg/m.}$$

Untuk mendapatkan nilai tegangan tarik horisontal dan andongan dari konduktor maka akan digunakan :

$$\delta = \frac{W}{A}$$

$$= \frac{1,6329}{392,84}$$

$$= 4,1567 \times 10^{-3}$$

$$q_i = \frac{W_a}{A}$$

$$= \frac{1,65309}{1,6329}$$

$$= 1,0124$$

$$f_1 = \frac{T}{A}$$

$$= \frac{2390}{392,84}$$

$$= 6,0839 \text{ kg/mm}^2$$

$$t = 40^\circ\text{C} - 10^\circ\text{C}$$

$$= 30^\circ\text{C}$$

$$K = f_1 \cdot \frac{\delta^2 \times q_1^2 \times s^2 \times E}{24 \times f_1^2}$$

$$= 6,0839 \cdot \frac{(4,1567 \times 10^{-3})^2 \times (1,0124)^2 \times (415,7)^2 \times (8,538 \times 10^3)}{24 \times (6,0839)^2}$$

$$= 23,3293$$

$$M = \frac{\delta^2 \times q_1^2 \times s^2 \times E}{24}$$

$$= \frac{(4,1567 \times 10^{-3})^2 \times (1,0124)^2 \times (415,7)^2 \times (8,538 \times 10^3)}{24}$$

$$= 1088,6959$$

Lalu,

$$(f_2)^2 \{ f_2 \cdot [K \cdot (\alpha \times t \times E)] \} = M$$

$$(f_2)^2 \{ f_2 \cdot [-23,3293 - (18,9 \times 10^{-6} \times 30 \times 8,538 \times 10^3)] \} = 1088,6959$$

$$f_2 = 5,6716$$

Sehingga,

$$T = f_2 \times A$$

$$= 5,6716 \times 392,84$$

$$= 2228,0313 \text{ Kg.}$$

$$d = \frac{W \times s^2}{8T}$$

$$= \frac{(1,6329) \times (415,7)^2}{8 \times 2228,0313}$$

$$= 15,831 \text{ m.}$$

$$L = s \left[1 + \frac{1}{24} \left(\frac{W_{xs}}{T} \right)^2 \right]$$

$$= 415,7 \left[1 + \frac{1}{24} \left(\frac{1,6329 \times 415,7}{2228,0313} \right)^2 \right]$$

$$= 417,3077 \text{ m.}$$

$$T_{AB} = T \left[1 + \frac{1}{8} \left(\frac{W_{xs}}{T} \right)^2 \right]$$

$$= 2228,0313 \left[1 + \frac{1}{8} \left(\frac{1,6329 \times 415,7}{2228,0313} \right)^2 \right]$$

$$= 2253,8817 \text{ Kg}$$

Pada kondisi suhu 30°C :

$$d = 15,7851 \text{ m.}$$

$$L = 419,0915 \text{ m.}$$

$$T_{AB} = 2279,7 \text{ Kg.}$$

Pada kondisi suhu 60°C :

$$d = 16,8371 \text{ m.}$$

$$L = 419,3107 \text{ m.}$$

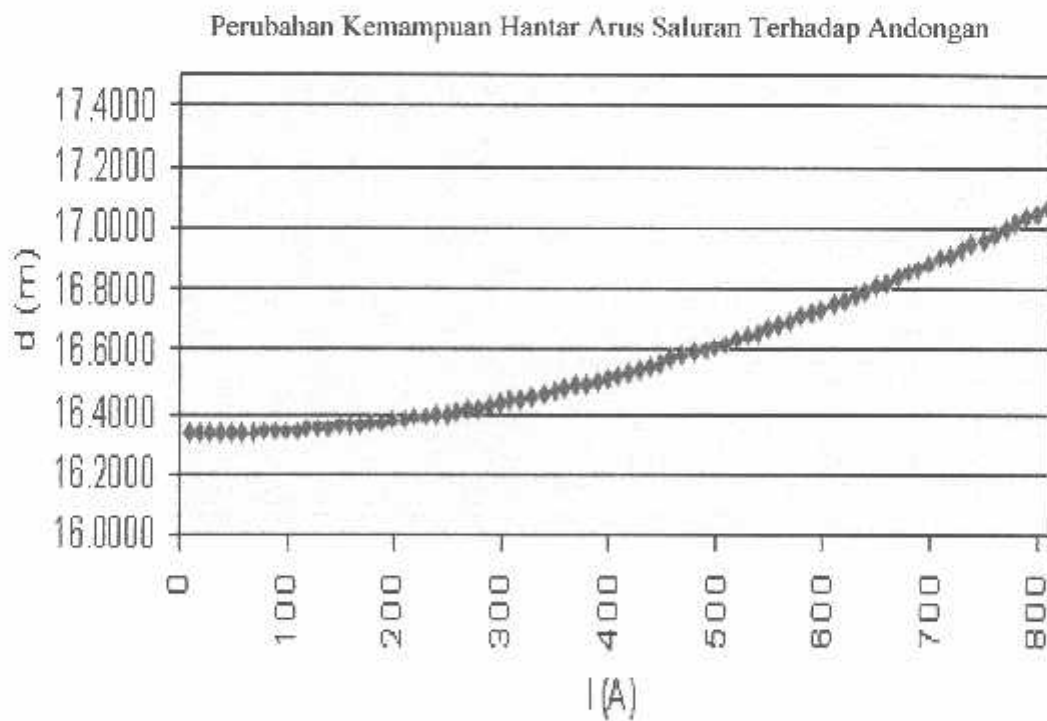
$$T_{AB} = 2140,6 \text{ Kg.}$$

Jika dibuat tabelnya adalah sebagai berikut :

No Menara	Span (m)	Suhu (°C)	Andongan (m)	Panjang Konduktor (m)	Tension (Kg)
147-148	415,7	30	15.7851	419.0915	2279,7
		40	15.831	417.3077	2253.8817
		60	16.8371	419.3107	2140,6

Dari hasil perhitungan terlihat bahwa semakin besar span dan suhunya maka andongan akan bertambah besar sedangkan tegangan tarik horisontalnya akan semakin berkurang.

Grafik akibat perubahan arus saluran konduktor terhadap andongan konduktor adalah sebagai berikut :



Gambar 4-5
**Grafik Perubahan Kemampuan Hantar Arus Saluran Terhadap
Andongan Konduktor**

Perubahan kemampuan hantar arus saluran akan mengakibatkan berubahnya andongan konduktor. Apabila arus saluran bertambah besar maka akan mengakibatkan andongan pada konduktor akan besar pula.

Dengan mempertimbangkan batas temperature maksimum yang diizinkan untuk jenis konduktor tersebut yaitu 90°C maka besar andongan maksimum yang dicapai pada nilai 17.8392 meter.

- Menara yang tidak sama tingginya.

Menara nomor 169 : AA+3

Menara nomor 170 : BB+6

Jarak antara menara : 455 m

Selisih ketinggiannya : 9,71 m.

Untuk suhu 40°C maka :

$$K = f_1 - \frac{\delta^2 \times g_1^2 \times s^2 \times E}{24 \times f_1^2}$$

$$= 6,0839 - \frac{(4,1567 \times 10^{-3})^2 \times (1,0124)^2 \times (455)^2 \times (8,538 \times 10^3)}{24 \times (6,0839)^2}$$

$$= -29,16689$$

$$M = \frac{\delta^2 \times g_1^2 \times s^2 \times E}{24}$$

$$= \frac{(4,1567 \times 10^{-3})^2 \times (1,0124)^2 \times (455)^2 \times (8,538 \times 10^3)}{24}$$

$$= 1304,2755$$

Lalu,

$$(f_2)^2 \{f_2 - [K - (\alpha \times t \times E)]\} = M$$

$$(f_2)^2 \{f_2 - [-29,16689 - (18,9 \times 10^{-6} \times 30 \times 8,538 \times 10^3)]\} = 1304,2755$$

$$f_2 = 5,7288$$

Sehingga,

$$T = f_2 \times A$$

$$= 5,7288 \times 392,84$$

$$= 2250,5018 \text{ Kg}$$

$$d = \frac{Wxs^2}{8T}$$

$$= \frac{(1,6329)x(455)^2}{8 \times 2250,5018}$$

$$= 18,7764 \text{ m.}$$

$$d_A = d \left(\frac{h}{4d} - 1 \right)^2$$

$$= 18,7764 \left(\frac{9,71}{4 \times 18,7764} - 1 \right)^2$$

$$= 14,2352 \text{ m.},$$

$$d_B = d \left(\frac{h}{4d} + 1 \right)^2$$

$$= 18,7764 \left(\frac{9,71}{4 \times 18,7764} + 1 \right)^2$$

$$= 23,9452 \text{ m.}$$

$$L = s \left[1 + \frac{1}{24} \left(\frac{Wxs}{T} \right)^2 + \frac{1}{2} \left(\frac{h}{s} \right)^2 \right]$$

$$= 455 \left[1 + \frac{1}{24} \left(\frac{1,6329x(455)}{2250,5018} \right)^2 + \frac{1}{2} \left(\frac{9,71}{455} \right)^2 \right]$$

$$= 457,1699 \text{ m.}$$

$$T_{AB} = T + (W \times d_{AB})$$

$$T_A = T + (W \times d_A)$$

$$= 2250,5018 + (1,6329 \times 14,2352)$$

$$= 2273,7465 \text{ Kg}$$

$$T_B = T + (W \times d_B)$$

$$= 2250,5018 + (1,6329 \times 23,9452)$$

$$= 2289,6019 \text{ Kg.}$$

Pada kondisi suhu 30°C :

$$d = 18,6257 \text{ m.}$$

$$d_A = 14,0871 \text{ m.}$$

$$d_B = 23,7971 \text{ m.}$$

$$L = 457,1368 \text{ m.}$$

$$T_A = 2291,7 \text{ Kg.}$$

$$T_B = 2307,6 \text{ Kg.}$$

Pada kondisi suhu 60°C :

$$d = 19,6996 \text{ m.}$$

$$d_A = 14,4240 \text{ m.}$$

$$d_B = 24,8537 \text{ m.}$$

$$L = 457,3780 \text{ m.}$$

$$T_A = 2169,8 \text{ Kg.}$$

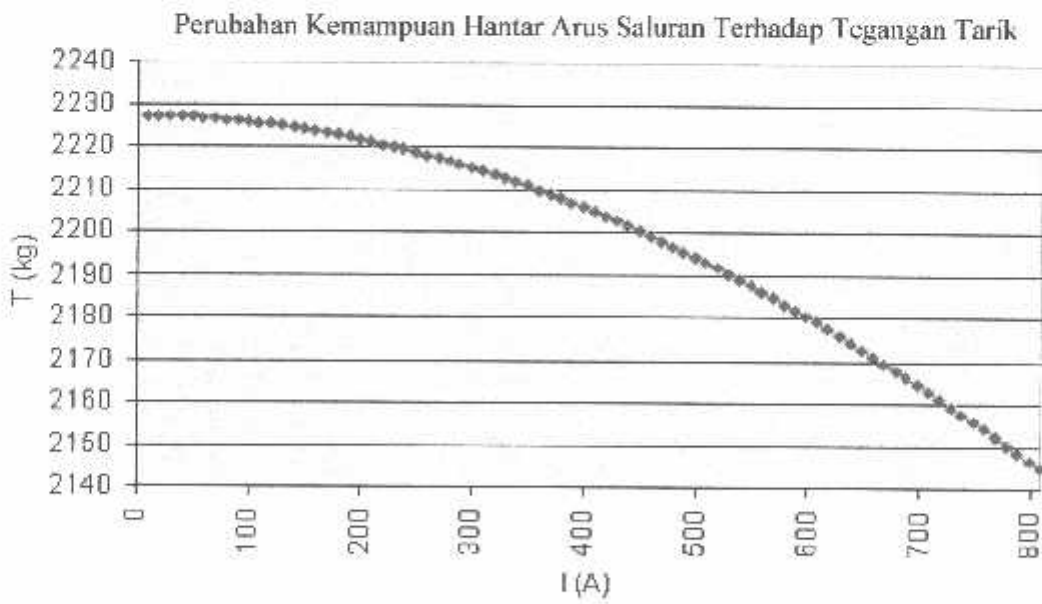
$$T_B = 2185,6 \text{ Kg.}$$

Jika dibuat tabelnya adalah sebagai berikut :

No Mcnara	Span (m)	Beda Tinggi (m)	Suhu (°C)	Andongan			Tension	
				d (m)	d_A (m)	d_B (m)	T_A (Kg)	T_B (Kg)
169-170	455	9,71	30	18.62	14,087	23,797	2291,7	2307,6
				57	1	1		
			40	18,77	14,235	23,945	2273,7	2289,6
				64	2	2	465	019
			60	19.69	14,424	24,853	2169,8	2185,6
				96	0	7		

Dari hasil perhitungan terlihat semakin besar beda ketinggian, span dan suhunya maka andongan akan bertambah besar sedangkan tegangan tarik horizontalnya akan semakin berkurang.

Grafik akibat perubahan kemampuan hantar arus saluran konduktor terhadap tegangan tarik konduktor adalah sebagai berikut :



Gambar 4-6
Grafik Perubahan Kemampuan Hantar Arus Saluran Terhadap Tegangan Tarik

Perubahan kemampuan hantar arus saluran akan mengakibatkan menurunya tegangan tarik konduktor. Dengan mempertimbangkan batas temperatur maksimum yang diizinkan untuk jenis konduktor ACSR tersebut maka besar penurunan tegangan tarik konduktor maksimum akan terjadi pada saat konduktor ACSR dialiri arus saluran sebesar 850 Ampere yang menyebabkan tegangan tarik ACSR menjadi 2136,9Kg.

4.8 Perhitungan Span Equivalen

Mengingat panjang span dari masing-masing menara tidak sama maka span equivalent dapat dihitung dengan menggunakan metode Rolling Span sebagai berikut :

$$L_e = \sqrt{\left(\frac{L_1^3 + L_2^3 + L_3^3 + \dots + L_n^3}{L_1 + L_2 + L_3 + \dots + L_n} \right)}$$

Dalam hal perhitungan span equivalen, maka akan diambil suatu data panjang antara menara yakni data pada menara transmisi nomor 216 sampai dengan 228 dengan data sebagai berikut :

Panjang gawang antar menara :

216-217 = 431,10 m.

217-218 = 457,50 m.

218-219 = 441,80 m.

219-220 = 466,20 m.

220-221 = 483,00 m.

221-222 = 423,10 m.

222-223 = 397,50 m.

$$223-224 = 408,50 \text{ m.}$$

$$224-225 = 437,40 \text{ m.}$$

$$225-226 = 441,00 \text{ m.}$$

$$226-227 = 488,10 \text{ m.}$$

$$227-228 = 414,20 \text{ m.}$$

Dengan data-data dari panjang gawang yang telah ada, maka akan didapatkan panjang span equivalent-nya sebagai berikut :

$$L_e = 443,3381259 \text{ m.}$$

Jadi panjang span equivalent-nya adalah sebesar 443,3381259 m

BAB V

PENUTUP

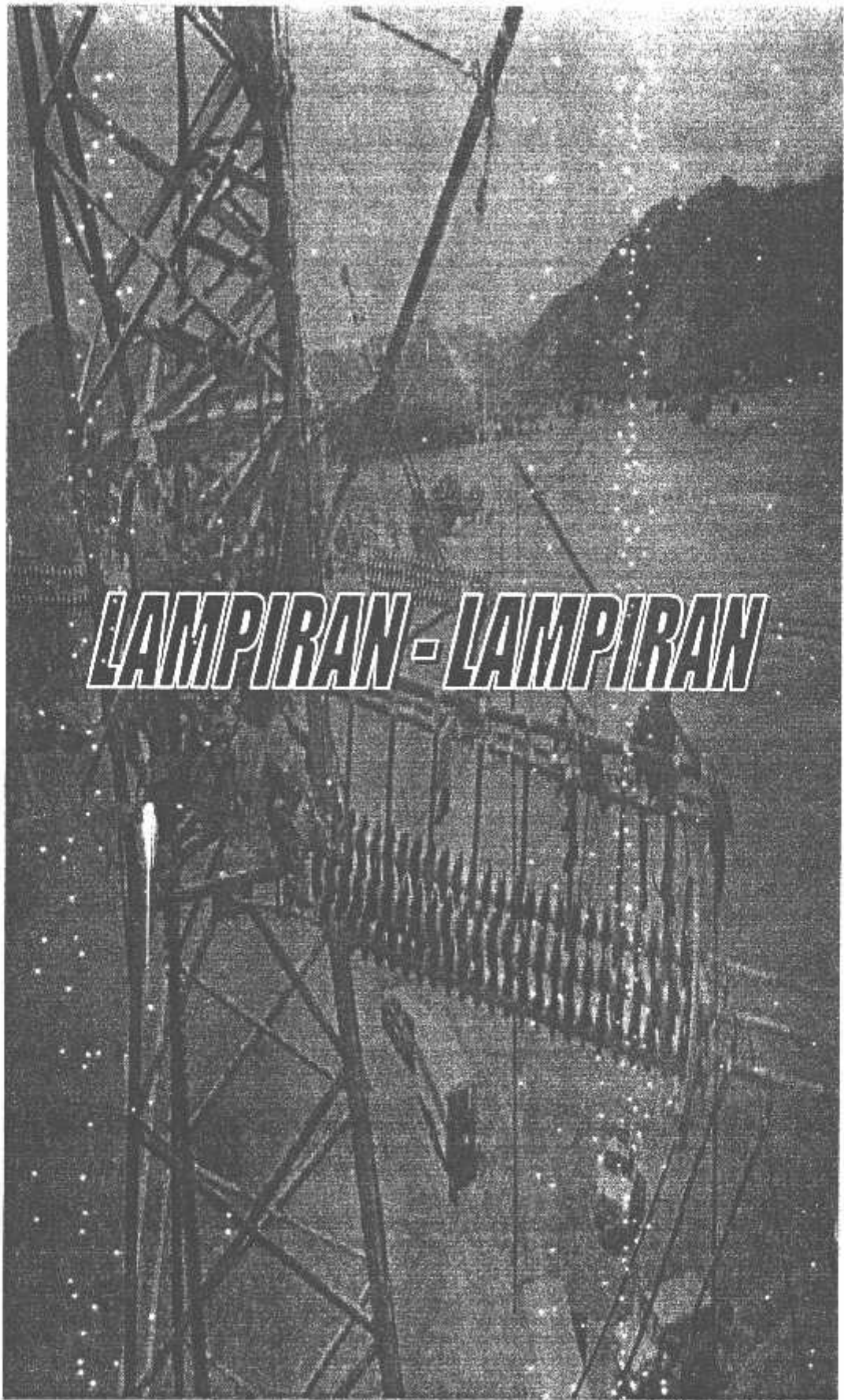
5.1 Kesimpulan

Berdasarkan hasil dari penelitian ini dapat disimpulkan bahwa

1. Pembebatan arus saluran akan menyebabkan kenaikan temperatur konduktor. kemampuan hantar arus konduktor ACSR adalah 810Ampere dapat menghasilkan temperatur konduktor menjadi 66.80°C), hal ini mengakibatkan terjadinya peningkatan temperatur konduktor sebesar 47.46%
2. Meningkatnya perubahan arus akan menyebabkan menurunnya tegangan tarik konduktor. Berdasarkan pada temperatur maksimum yang diizinkan, tegangan tarik konduktor minimum pada menara antara 169-170 untuk konduktor ACSR adalah 2126,9 Kg. Sedangkan pada menara antara 147-148, yang dihitung berdasarkan temperatur maksimum yang diizinkan, nilai andongannya mencapai 17,2352 meter. jadi terlihat bahwa sebagai dampak dari meningkatnya kemampuan hantar arus akan mengakibatkan pemuluran konduktor yang lebih panjang.
3. Pada menara antara 398-399 yang merupakan span dengan jarak terpanjang (547.50 meter), nilai andongannya mencapai 28.2040 meter. Maka semakin panjang span di antara dua menara, semakin tinggi pula nilai andongan yang terjadi.

DAFTAR PUSTAKA

1. Arismunandar, A. Dan Kuwahara, S., *Teknik Tenaga Listrik*, Vol.II, Jakarta: Pradnya Paramita, 1990.
2. Begamudre, Rakosh Das., *Extra High Voltage AC Transmission Engineering*, India: Kanpur, 1987.
3. Despande, D.V., *Electrical Power System Design*, New Delhi: Tata Mc. Graw Hill, 1984.
4. Gonen, Turan, *Electrical Power Transmission System Engineering: Analysis and Design*, USA: John Willey & Sons Inc., 1988.
5. Ilutahuruk, T.S., *Transmisi Daya Listrik*, Jakarta: Erlangga, 1999.
6. Mehta, V.K., Rohit Mehta, *Principles Of Power System*, New Delhi: S. Chand & Company LTD, 2002.
7. Starr, A.T. Generation, *Transmission and Utilization Of Electrical Engineering*, New York:Sir Isaac Pitman and Sons (Canada) Ltd., 1961



LAMPIRAN - LAMPIRAN



INSTITUT TEKNOLOGI NASIONAL MALANG
FAKULTAS TEKNOLOGI INDUSTRI
JURUSAN TEKNIK ELEKTRO S-1
KONSENTRASI TEKNIK ENERGI LISTRIK

BERITA ACARA UJIAN SKRIPSI FAKULTAS TEKNOLOGI INDUSTRI

1. Nama : ASRUL KAYUNG
2. NIM : 02.12.076
3. Jurusan : Teknik Elektro S-1
4. Konsentrasi : Teknik Energi Listrik
5. Judul Skripsi : ANALISA PENGARUH PERUBAHAN KEMAMPUAN HANTAR ARUS SALURAN TERHADAP TEGANGAN TARIK DAN ANDONGAN DENGAN PROGRAM MATLAB 7.0 PADA SUTET 500 kV DI PAITON-KEDIRI

Dipertahankan dihadapan Majelis Penguji Skripsi Jenjang Strata Satu (S-1) pada :

Hari : Kamis
Tanggal : 22 Maret 2007
Dengan Nilai : 82,15 (Delapan puluh dua koma lima belas) *zey*



Panitia Ujian Skripsi

Ir. Mochtar Asroni, MSME
Ketua

Ir. F. Yudi Limpraptono, MT
Sekretaris

Anggota Penguji

Ir. M Abdul Hamid, MT
Penguji Pertama

Irrine Budi S, ST, MT
Penguji Kedua



INSTITUT TEKNOLOGI NASIONAL MALANG
FAKULTAS TEKNOLOGI INDUSTRI
JURUSAN TEKNIK ELEKTRO S-I
KONSENTRASI TEKNIK ENERGI LISTRIK

LEMBAR BIMBINGAN SKRIPSI

1. Nama : ASRUL KAYUNG
2. NIM : 02.12.076
3. NIRM : -
4. Jurusan : TEKNIK ELEKTRO S-I
5. Konsentrasi : TEKNIK ENERGI LISTRIK
6. Judul Skripsi : ANALISA PENGARUH PERUBAHAN KEMAMPUAN HANTAR ARUS SALURAN TERHADAP TEGANGAN TARIK DAN ANDONGAN DENGAN PROGRAM MATLAB 7.0 PADA SUTET 500 kV DI PAITON - KEDIRI
7. Tanggal Mengajukan Skripsi : 07 Desember 2006
8. Tanggal Menyelesaikan Skripsi : 12 Maret 2007
9. Dosen Pembimbing : Ir. Teguh Herbasuki, MT
10. Telah dievaluasi dengan nilai : 85 (Delapan Puluh lima)

Malang, Maret 2007

Mengetahui
Ketua Jurusan Teknik Elektro

Ir. F. Yudi Limpraptono, MT
NIP. V. 103 3950 0274

Disetujui
Dosen Pembimbing

Ir. Teguh Herbasuki, MT
NIP.Y. 103 890 0209



INSTITUT TEKNOLOGI NASIONAL MALANG
FAKULTAS TEKNOLOGI INDUSTRI
JURUSAN TEKNIK ELEKTRO S-1
KONSENTRASI TEKNIK ENERGI LISTRIK

PERSETUJUAN PERBAIKAN SKRIPSI

Dari hasil ujian skripsi Jurusan Teknik Elektro jenjang strata satu (S-1) yang diselenggarakan pada :

Hari : Kamis
Tanggal : 22 Maret 2007

Telah dilakukan perbaikan skripsi oleh :

- | | |
|------------------|--|
| 1. Nama | : ASRUL KAYUNG |
| 2. NIM | : 02.12.076 |
| 3. Jurusan | : Teknik Elektro S-1 |
| 4. Konsentrasi | : Teknik Energi Listrik |
| 5. Judul Skripsi | : ANALISA PENGARUH PERUBAHAN KEMAMPUAN HANTAR ARUS SALURAN TERHADAP TEGANGAN TARIK DAN ANDONGAN DENGAN PROGRAM MATLAB 7.0 PADA SUTET 500 KV DI PAITON - KEDIRI |

Perbaikan meliputi :

No	Materi Perbaikan	Keterangan
1.	Abstrak bahasa inggris	<i>y</i>
2.	Data type menara dilengkapi	<i>y</i>
3.	Uraikan satuan persamaan keseimbangan panas	<i>y</i>
4.	Batas perhitungan untuk arus di sesuaikan dengan jenis saluran penghantar. Sehingga perhitungan tidak melebihi kemampuan hantar yang ada.	<i>y</i>

Dosen Pembimbing

Ir. Teguh Herbasuki, MT
NIP.Y. 103 890 0209

Dosen Pengaji II,

Irrine Budi S, ST, MT
NIP.132314400



FORMULIR BIMBINGAN SKRIPSI

Nama : ASRUL KAYUNG
Nim : 02.12.076
Masa Bimbingan : 07 Desember 2006 s/d 07 Juni 2007
Judul Skripsi : ANALISA PENGARUH PERUBAHAN ARUS SALURAN TERHADAP TEGANGAN TARIK DAN ANDONGAN DENGAN PROGRAM MATLAB 7.0 PADA SUTET 500 kV DI PAITON - KEDIRI

No.	Tanggal	Uraian	Parap Pembimbing
1.	09/01/07	Konsultasi bab I & II	
2.	15/01/07	Revisi bab II	
3.	23/01/07	Konsultasi bab III	
4.	29/01/07	Revisi gambar & bab III	
5.	06/02/07	Konsultasi data & perhitungan	
6.	12/02/07	Konsultasi bab IV	
7.	19/02/07	Revisi perhitungan	
8.	24/02/07	Konsultasi Makalah Seminar	
9.	02/03/07	Revisi Makalah Seminar	
10.	12/03/07	Acc Ujian	

Malang,
Dosen Pembimbing,

Ir. Teguh Herbasuki, MT
NIP : Y. 1038900209



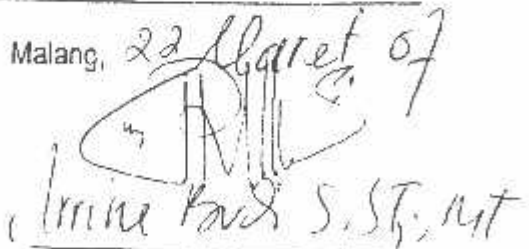
INSTITUT TEKNOLOGI NASIONAL
FAKULTAS TEKNOLOGI INDUSTRI
JURUSAN TEKNIK ELEKTRO

Formulir Perbaikan Ujian Skripsi

Dalam pelaksanaan Ujian Skripsi Janjang Strata 1 Jurusan Teknik Elektro Konsentrasi T. Energi Listrik / T. Elektronika, maka perlu adanya perbaikan skripsi untuk mahasiswa :

NAMA : Aqrol Kayung
NIM : 02.12.076
Perbaikan meliputi

- Abstrak bhs Inggris
- Data tipe menara di lengkapin.
- Matriks satuan pers terimbangan panas.
- Batas perhitungan untuk arus di semakin luas dengan jenis saluran penghantaran. Selainnya perhitungan tidak memperhatikan kemampuan hasilnya yg akur.

Malang, 22 Agustus 07

Imine Padil S.Si, M.T



INSTITUT TEKNOLOGI NASIONAL
FAKULTAS TEKNOLOGI INDUSTRI
JURUSAN TEKNIK ELEKTRO

Formulir Perbaikan Ujian Skripsi

Dalam pelaksanaan Ujian Skripsi Janjang Strata 1 Jurusan Teknik Elektro Konsentasi T. Energi Listrik / T. Elektronika, maka perlu adanya perbaikan skripsi untuk mahasiswa :

NAMA

N I M

Perbaikan meliputi

Astul Kayung
02.12.076

Malang, 22 Maret 2007

Ir. M Abdul Hamid, MT



PT PLN (PERSERO)
PENYALURAN DAN PUSAT PENGATUR BEBAN JAWA BALI
REGION JAWA TIMUR & BALI

alan Suningrat No. 45 Taman Sidoarjo 61257

Telp : (031) 7882113, 7882114

Faksimile : (031) 7882578, 7881024

E-mail : region4@pln-jawa-bali.co.id

Website : www.pln-jawa-bali.co.id

nomor : 27 / 330/ RJTB/ 2006
at Scr. No. : TN-557/III.TA-2/2/06
nipiran : 1 (satu) lampiran.
inal : ijin Survey/ Pengambilan Data.

26 DEC 2006

Kepada Yth.

INSTITUT TEKNOLOGI NASIONAL MALANG
FAKULTAS TEKNOLOGI INDUSTRI
Di
M A L A N G

Menunjuk surat Saudara nomor : ITN-557/III.TA-2/2/06 tanggal 14 Desember 2006 perihal : Survey / Permintaan Data, dengan ini diberitahukan bahwa kami tidak keberatan untuk memberikan ijin kepada Mahasiswa Saudara, bernama :

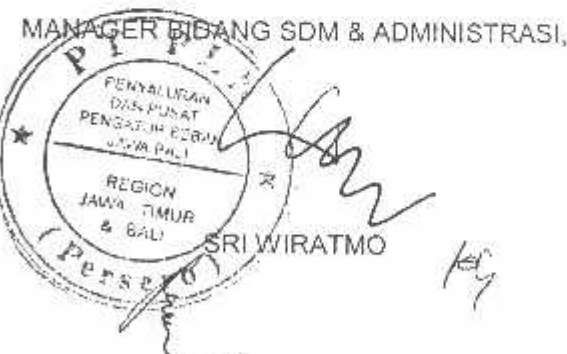
➤ ASRUL KAYUNG

NIM : 02.12.076

Untuk melakukan Pengambilan data pada PT. PLN (Persero) P3B Region Jawa Timur dan Bali Bidang Enjineering, dengan persyaratan sebagai berikut :

1. Mahasiswa tersebut diatas supaya mengisi dan menanda tangani Surat Pernyataan 1 (satu) lembar bermeterai Rp. 6.000,-
2. Mahasiswa yang bersangkutan agar mematuhi peraturan/ketentuan yang berlaku di PT. PLN (PERSERO) sehingga faktor-faktor kerahasiaan harus benar-benar diutamakan
3. Semua biaya perjalanan, penginapan, makan dan lain sebagainya tidak menjadi tanggungan PT. PLN (Persero) P3B Region Jawa Timur dan Ball.
4. Buku Laporan Kerja Praktek Mahasiswa tersebut agar dikirimkan kepada PT. PLN (Persero) P3B Region Jawa Timur dan Bali 1 (satu) buah.
5. Untuk informasi lebih lanjut dapat menghubungi PT. PLN (Persero) P3B Region Jawa Timur dan Ball Cq. Bidang SDM & ADMINISTRASI.

Demikian harap maklum dan terima kasih atas perhatian saudara.



Tembusan Yth. :

1. M.SDMO PLN P3B
2. MENJIN.PLN P3B RJTB
3. Sdr. Asrul Kayung.
4. UPT. Kodiri

S U R A T P E R N Y A T A A N

Yang bertanda tangan dibawah ini, saya :

Nama : Asepul...Karyung
Pria/ Wanita : Pria
Tempat / Tanggal lahir : BOGOR / 27 September 1981

Alamat / No. telepon : Jl. Wan Onyapu Gg.VI No.9
(0836)4265541, 08121772071
Pekerjaan : Mahasiswa

Dengan ini saya menerangkan bahwa :

1. Saya bersedia dan setuju menanggung semua akibat yang ditimbulkan karena kesalahan maupun kelalaian saya dan semua akibat lainnya yang terjadi pada instalasi peralatan milik PLN selama melakukan Training/ Praktek Kerja/ Riset pada PT PLN (Persero) P3B Region Jawa Timur dan Bali, yang telah mendapat ijin dari PT PLN (Persero) P3B Region Jawa Timur dan Bali ;
2. Saya atas peringatan pertama akan membayar sepenuhnya, semua biaya yang langsung menimbulkan kerugian atau kecelakaan , karena kelalaian saya ;
3. Saya akan segera mematuhi semua petunjuk - petunjuk yang diberikan oleh Petugas PT PT PLN (Persero) P3B Region Jawa Timur dan Bali ;
4. Saya sanggup tidak membocorkan hal – hal yang bersifat rahasia perusahaan PT PLN (Persero) P3B Region Jawa Timur dan Bali dan bahan yang saya peroleh dalam Training/ Praktek Kerja/ Riset, dan tidak saya pergunakan untuk hal – hal yang dapat merugikan PT PLN (Persero) P3B Region Jawa Timur dan Bali
5. Saya sanggup menanggung sendiri segala sesuatu untuk keperluan Training/ Praktek Kerja/ Riset termasuk biaya perjalanan , penginapan makan dan sebagainya ;
6. Saya sanggup menyerahkan 1 (satu) buah buku laporan Training/ Praktek Kerja/ Riset kepada PT PLN (Persero) P3B Region Jawa Timur dan Bali, setelah saya presentasikan kepada Manager Bidang SDMAD PT PLN (Persero) P3B Region Jawa Timur dan Bali mengenai tugas Training/ Praktek Kerja/ Riset.
7. Saya tunduk dan akan mentaati semua peraturan yang berlaku di PT PLN (Persero) P3B Region Jawa Timur dan Bali, dan saya sanggup tidak meninggalkan tugas kedinasan selama Training/ Praktek Kerja/ Riset.

Surabaya, 10 - Desember 2006
Yang membuat pernyataan



TABEL HASIL PERHITUNGAN
PENGARUH PERUBAHAN KEMAMPUAN HANTAR ARUS SALURAN
TERHADAP TEMPERATUR DAN TEGANGAN TARIK
UNTUK KONDUKTOR ACSR JENIS GANNET 4 x 392,84 mm²

ARUS (A)	TEMPERATUR (C)	TEGANGAN TARIK (kg)
10	45.30	2227.1
20	45.31	2227.1
30	45.33	2227
40	45.35	2226.9
50	45.38	2226.8
60	45.42	2226.6
70	45.46	2226.5
80	45.51	2226.3
90	45.57	2226
100	45.67	2225.6
110	45.70	2225.5
120	45.78	2225.2
130	45.86	2224.8
140	45.96	2224.4
150	46.04	2224.1
160	46.15	2223.7
170	46.26	2223.2
180	46.37	2222.8
190	46.49	2222.3
200	46.62	2221.8
210	46.76	2221.2
220	46.90	2220.6
230	47.05	2220
240	47.21	2219.4
250	47.37	2218.8
260	47.54	2218.1
270	47.71	2217.4
280	47.89	2216.7
290	48.08	2215.9
300	48.28	2215.1
310	48.48	2214.3
320	48.69	2213.5
330	48.90	2212.7
340	49.12	2211.8
350	49.35	2210.9
360	49.58	2210
370	49.83	2209
380	50.07	2208
390	50.33	2207
400	50.59	2206
410	50.85	2204.9
420	51.13	2203.8
430	51.41	2202.7
440	51.69	2201.6
450	51.99	2200.5

TABEL HASIL PERHITUNGAN LANJUTAN

ARUS (A)	TEMPERATUR (C)	TEGANAN TARIK (kg)
460	52.29	2199.3
470	52.59	2198.1
480	52.91	2196.9
490	53.23	2195.6
500	53.55	2194.4
510	53.88	2193.1
520	54.22	2191.8
530	54.57	2190.4
540	54.92	2189.1
550	55.28	2187.7
560	55.64	2186.3
570	56.01	2184.9
580	56.39	2183.4
590	56.77	2182
600	57.16	2180.5
610	57.56	2179
620	57.96	2177.5
630	58.31	2176.1
640	58.78	2174.4
650	59.21	2172.7
660	59.63	2171.2
670	60.07	2169.5
680	60.51	2167.9
690	60.95	2166.2
700	61.41	2164.5
710	61.87	2162.8
720	62.33	2161.1
730	62.80	2159.3
740	63.28	2157.6
750	63.76	2155.8
760	64.21	2154.1
770	64.75	2152.1
780	65.25	2150.3
790	65.76	2148.4
800	66.28	2146.6
810	66.80	2144.7

TABEL HASIL PERHITUNGAN
PENGARUH PERUBAHAN KEMAMPUAN HANTAR ARUS SALURAN
TERHADAP TEMPERATUR DAN ANDONGAN
UNTUK KONDUKTOR ACSR JENIS GANNET 4 x 392,84 mm²

ARUS (A)	TEMPEARTUR (C)	ANDONGAN (m)
10	45.30	16.3282
20	45.31	16.3286
30	45.33	16.3293
40	45.35	16.3300
50	45.38	16.3310
60	45.42	16.3324
70	45.46	16.3338
80	45.51	16.3356
90	45.57	16.3377
100	45.67	16.3412
110	45.70	16.3422
120	45.78	16.3450
130	45.86	16.3478
140	45.96	16.3513
150	46.04	16.3541
160	46.15	16.3580
170	46.26	16.3618
180	46.37	16.3657
190	46.49	16.3699
200	46.62	16.3744
210	46.76	16.3793
220	46.90	16.3842
230	47.05	16.3895
240	47.21	16.3950
250	47.37	16.4006
260	47.54	16.4066
270	47.71	16.4125
280	47.89	16.4188
290	48.08	16.4254
300	48.28	16.4324
310	48.48	16.4394
320	48.69	16.4467
330	48.90	16.4645
340	49.12	16.4636
350	49.35	16.4697
360	49.58	16.477
370	49.83	16.4864
380	50.07	16.4947
390	50.33	16.5037
400	50.59	16.5128
410	50.85	16.5208
420	51.13	16.5315
430	51.41	16.5412
440	51.69	16.5509
450	51.99	16.5613

TABEL HASIL PERHITUNGAN LANJUTAN

ARUS (A)	TEMERATUR (C)	ANDONGAN (m)
460	52.29	16.5717
470	52.59	16.5821
480	52.91	16.5932
490	53.23	16.6043
500	53.55	16.6153
510	53.88	16.6267
520	54.22	16.6385
530	54.57	16.6506
540	54.92	16.6626
550	55.28	16.6750
560	55.64	16.6874
570	56.01	16.7002
580	56.39	16.7133
590	56.77	16.7263
600	57.16	16.7353
610	57.56	16.7535
620	57.96	16.7672
630	58.31	16.7792
640	58.78	16.7953
650	59.21	16.8101
660	59.63	16.8244
670	60.07	16.8395
680	60.51	16.8545
690	60.95	16.8699
700	61.41	16.8853
710	61.87	16.9010
720	62.33	16.9166
730	62.80	16.9326
740	63.28	16.9490
750	63.76	16.9653
760	64.21	16.9806
770	64.75	16.9989
780	65.25	17.0159
790	65.76	17.0332
800	66.28	17.0508
810	66.80	17.0684

WILAYAH KERJA UPT PROBOLINGGO
SUTET 500 KV PAITON – KEDIRI (No. T 1 S/D 289)

Nomor Menara	Tipe Menara	Gawang (m)	Keterangan	Lokasi
Gan-1	GAN	120.4		Bhinor
1-2	FF	299.3	Menara TST	Bhinor
2-3	AA + 3	325.8	Menara TST	RPH. Kabuaran
3-4	BB	448	Menara TST	RPH. Kabuaran
4-5	BB	390.8	Menara ST	RPH. Kabuaran
5-6	CC+6	449.5	Menara TST	RPH. Kabuaran
6-7	AA	482.9	Menara TST	RPH. Kabuaran
7-8	AA	485.6	Menara ST	RPH. Kabuaran
8-9	BB+6	483.6	Menara TST	Bhinor
9-10	FF	75	Menara TST	RPH. Kabuaran
10-11	GAN-11	61.5	Menara ST	RPH. Kabuaran
11-12	GAN-11	125.8	Menara ST	RPH. Kabuaran
12-13	FF+6	295.9	Menara TST	Bhinor
13-14	CC	402	Menara TST	Kota Anyar
14-15	AA-3	446.6	Menara TST	RPH. Mantikan
15-16	AA+6	419.6	Menara TST	RPH. Mantikan
16-17	AA	402	Menara TST	Kota Anyar
17-18	AA	352.1	Menara ST	Sukorejo
18-19	AA	396	Menara ST	Sukorejo
19-20	AA+9	428.8	Menara TST	Sukorejo
20-21	AA+3	408.1	Menara TST	Sidorejo
21-22	AA	441.7	Menara TST	Sambirampak Lor
22-23	BB+3	355.5	Menara TST	Sambirampak Lor
23-24	AA+3	465	Menara TST	Sambirampak Lor

WILAYAH KERJA UPT PROBOLINGGO
SUTET 500 KV PAITON – KEDIRI (No. T 1 S/D 289)

Nomor Menara	Tipe Menara	Gawang (m)	Keterangan	Lokasi
24-25	AA+6	463.4	Menara TST	Sambirampak Lor
25-26	AA+6	406.6	Menara ST	Sambirampak Lor
26-27	AA	404.5	Menara TST	Buco Wetan
27-28	AA+9	514.8	Menara TST	Buco Wetan
28-29	AA+6	462.7	Menara TST	Buco Wetan
29-30	DD-3	369	Menara TST	Bima
30-31	AA-3	357.5	Menara TST	Bima
31-32	AA	435.3	Menara TST	Alas Pandan
32-33	BB+6	503.6	Menara TST	Alas Pandan
33-34	AA+9	464.9	Menara TST	Alas Pandan
34-35	AA+9	450.4	Menara ST	Sumber Kembar
35-36	AA+6	491.3	Menara TST	Sumber Kembar
36-37	BB+6	505.4	Menara TST	Sogaan
37-38	AA+6	338.4	Menara TST	Alas Nyiur
38-39	AA+3	419.7	Menara TST	Sindal Lami
39-40	AA-3	468.1	Menara TST	Sindal Lami
40-41	BB+6	393.3	Menara TST	Jambangan
41-42	AA+12	441.2	Menara TST	Jambangan
42-43	AA+12	446.3	Menara ST	Jambangan
43-44	AA+6	449.1	Menara TST	Klampukan
44-45	AA	442	Menara TST	Klampukan
45-46	AA+6	445.2	Menara TST	RPH Mrasi
46-47	AA+3	478.4	Menara TST	RPH Mrasi
47-48	AA+9	457.6	Menara TST	RPH Mrasi

WILAYAH KERJA UPT PROBOLINGGO
SUTET 500 KV PAITON – KEDIRI (No. T 1 S/D 289)

Nomor Menara	Tipe Menara	Gawang (m)	Keterangan	Lokasi
48-49	AA+3	436.6	Menara TST	Kertasono
49-50	BB+6	445.4	Menara TST	Sakaan
50-51	AA+6	427.6	Menara TST	Kertosono
51-52	AA+3	409.2	Menara TST	Nogosari
52-53	AA+3	393.4	Menara ST	RPH Mrasi
53-54	AA	404.2	Menara TST	Kedung Caluk
54-55	AA+3	410.7	Menara TST	Kedung Caluk
55-56	AA	438	Menara TST	Wangkal
56-57	AA+3	445.3	Menara TST	Mojolegi
57-58	AA+9	493.9	Menara TST	Mojolegi
58-59	AA+6	382.3	Menara TST	Mojolegi
59-60	BB-3	401.9	Menara TST	Mojolegi
60-61	AA-3	366.2	Menara TST	Mojolegi
61-62	AA	442.5	Menara TST	Opo-opo pendil
62-63	AA+6	477.7	Menara TST	RPH Kaliacar
63-64	AA+6	399	Menara ST	RPH Kaliacar
64-65	AA+6	477.9	Menara ST	RPH Kaliacar
65-66	AA+6	448.8	Menara ST	RPH Kaliacar
66-67	AA+3	441.9	Menara TST	RPH Kaliacar
67-68	AA+3	353.6	Menara ST	RPH Kaliacar
68-69	AA	394.3	Menara TST	RPH Kaliacar
69-70	AA-3	392.7	Menara TST	Sumber Socang
70-71	AA+9	442	Menara TST	Sumber Socang
71-72	BB	429.8	Menara TST	Satrean

WILAYAH KERJA UPT PROBOLINGGO
SUTET 500 KV PAITON – KEDIRI (No. T 1 S/D 289)

Nomor Menara	Tipe Menara	Gawang (m)	Keterangan	Lokasi
72-73	AA+6	485.8	Menara TST	Satrcan
73-74	BB+6	367	Menara TST	Brani Wetan
74-75	AA	422.2	Menara TST	Brani Kulon
75-76	AA+6	481.7	Menara TST	Marom Wetan
76-77	AA+6	457.7	Menara ST	Marom Wetan
77-78	AA-3	395.1	Menara TST	Marom Wetan
78-79	AA+6	430.2	Menara TST	Maron Kulon
79-80	AA+6	466.2	Menara ST	Maron Kidul
80-81	AA+6	498.1	Menara ST	Sumber Poh
81-82	AA+9	448.2	Menara TST	Sumber Poh
82-83	BB+3	423.1	Menara TST	Sumber Poh
83-84	AA+6	421.6	Menara TST	Klenang Kidul
84-85	AA-3	474.2	Menara TST	Klenang Kidul
85-86	AA+6	438.6	Menara TST	Tarakan
86-87	AA+3	418.6	Menara TST	Tarakan
87-88	AA+6	476.50	Menara ST	Leprak Wetan
88-89	AA+6	443.6	Menara ST	Leprak Wetan
89-90	AA+9	473.8	Menara TST	Leprak Kulon
90-91	AA+6	401.9	Menara TST	Leprak Kulon
91-92	AA-3	343.8	Menara TST	Banyuanyar Kidul
92-93	BB+6	411.1	Menara TST	Banyuanyar Kidul
93-94	AA+6	366.3	Menara TST	Bladu Wetan
94-95	AA+9	486.6	Menara TST	Bladu Wetan
95-96	AA+12	391.7	Menara TST	Bladu Kidul

WILAYAH KERJA UPT PROBOLINGGO
SUTET 500 KV PAITON – KEDIRI (No. T 1 S/D 289)

Nomor Menara	Tipe Menara	Gawang (m)	Keterangan	Lokasi
96-97	AA+6	414.3	Menara TST	Bulujarang Lor
97-98	AA+6	444.9	Menara ST	Bulujarang Lor
98-99	AA+3	445.9	Menara TST	Paras
99-100	AA+6	374.7	Menara TST	Paras
100-101	AA	449.9	Menara TST	Paras
101-102	AA+6	364.7	Menara TST	Paras
102-103	AA+3	400.2	Menara TST	Tegal Siwalan
103-104	AA+9	338.6	Menara TST	Tegal Siwalan
104-105	AA+15	378.3	Menara TST	Tegal Siwalan
105-106	AA+6	400.9	Menara TST	Banjar Sawah
106-107	AA+6	506	Menara ST	Banjar Sawah
107-108	AA	368.1	Menara TST	Malasan Kulon
108-109	DD-3	410.4	Menara TST	Tigasan Wetan
109-110	AA+9	517.1	Menara TST	Tigasan Wetan
110-111	AA+9	375.3	Menara ST	Tigasan Wetan
111-112	AA+9	453.6	Menara ST	Tigasan Wetan
112-113	AA-9	439.6	Menara TST	Tigasan Wetan
113-114	AA+3	408.2	Menara TST	Pondok Wuluh
114-114	AA+9	419	Menara TST	Pondok Wuluh
115-116	AA+3	480.4	Menara TST	Pondok Wuluh
116-117	AA+12	426.2	Menara TST	Pondok Wuluh
117-118	AA+3	480.7	Menara TST	Kerpangan
118-119	AA+3	409.9	Menara ST	Kramat Agung
119-120	BB	449.5	Menara TST	Kramat Agung

WILAYAH KERJA UPT PROBOLINGGO
SUTET 500 KV PAITON – KEDIRI (No. T 1 S/D 289)

Nomor Menara	Tipe Menara	Gawang (m)	Keterangan	Lokasi
120-121	AA+9	428.20	Menara TST	Kramat Agung
121-122	AA+3	446.2	Menara TST	Krepak
122-123	AA+3	459.9	Menara ST	Tempuran
123-124	AA+12	520.1	Menara TST	Tempuran
124-125	AA+12	399.3	Menara ST	Tempuran
125-126	AA+6	440.1	Menara TST	Tunggak Cerme
126-127	AA+6	364.7	Menara ST	Tunggak Cerme
127-128	AA-3	360.8	Menara TST	Tunggak Cerme
128-129	AA+6	446.9	Menara TST	Tunggak Cerme
129-130	AA+6	431.3	Menara ST	Pohsangit Ngisor
130-131	AA+6	404.1	Menara ST	Sepuh Gembol
131-132	AA+3	416.1	Menara TST	Sepuh Gembol
132-133	DD	403.1	Menara TST	Sepuh Gembol
133-134	AA+3	454	Menara TST	Sepuh Gembol
134-135	AA+6	146.1	Menara TST	Sepuh Gembol
135-136	AA+3	460.7	Menara TST	Sumber Kare
136-137	AA+6	372.3	Menara TST	Sumber Karc
137-138	AA	441.3	Menara TST	Sumber Karc
138-139	AA+9	532	Menara TST	Sumber Kare
139-140	BB+6	433.6	Menara TST	Sumber Kare
140-141	AA+6	502.4	Menara ST	Sumber Kare
141-142	BB+3	354.5	Menara TST	Sumber Bendo
142-143	AA	354.7	Menara TST	Sumber Bendo
143-144	AA	435.3	Menara ST	Sumber Rejo

WILAYAH KERJA UPT PROBOLINGGO
SUTET 500 KV PAITON – KEDIRI (No. T 1 S/D 28)

Nomor Menara	Tipe Menara	Gawang (m)	Keterangan	Lokasi
144-145	AA+9	388.3	Menara TST	Sumber Rejo
145-146	AA-3	441.8	Menara TST	Sumber Rejo
146-147	AA+3	358.3	Menara TST	Sumber Rejo
147-148	AA+3	417.5	Menara ST	Sumendi
148-149	AA+3	446.6	Menara ST	Sumendi
149-150	AA+3	404.6	Menara ST	Sumendi
150-151	AA	352.9	Menara TST	Sumendi
151-152	EE	435	Menara TST	Sumendi
152-153	AA+6	423.3	Menara TST	Wringin Anom
153-154	AA+6	423.5	Menara ST	Wringin Anom
154-155	AA+6	483.1	Menara ST	Wringin Anom
155-156	AA+9	456.80	Menara TST	Wringin Anom
156-157	AA	420.70	Menara TST	Wringin Anom
157-158	AA+3	394.30	Menara TST	Tongas Wetan
158-159	AA+6	385.70	Menara TST	Wringin Anom
159-160	AA+6	385.20	Menara ST	Tongas Kulon
160-161	GG+3	430.50	Menara TST	Tongas Kulon
161-162	AA+6	422.60	Menara TST	Curah Tulis
162-163	AA+6	431.10	Menara ST	Curah Tulis
163-164	AA+9	454.10	Menara TST	Klampok
164-165	AA+9	472.50	Menara ST	Klampok
165-166	AA+9	422.50	Menara ST	Klampok
166-167	AA+3	408.80	Menara TST	Klampok
167-168	AA+6	465.80	Menara TST	Klampok

WILAYAH KERJA UPT PROBOLINGGO
SUTET 500 KV PAITON – KEDIRI (No. T 1 S/D 289)

Nomor Menara	Tipe Menara	Gawang (m)	Keterangan	Lokasi
168-169	AA+6	461-90	Menara ST	Sebalong
169-170	AA+3	455.00	Menara TST	Sebalong
170-171	BB+6	446.10	Menara TST	Sebalong
171-172	AA+6	491.80	Menara ST	Sebalong
172-173	AA+6	450.90	Menara ST	Plososari
173-174	AA+12	429.10	Menara TST	Plososari
174-175	AA	391.70	Menara TST	Plososari
175-176	AA+6	399.00	Menara TST	Plososari
176-177	AA+6	509.60	Menara ST	Plososari
177-178	AA+12	483.10	Menara TST	Plososari
178-179	AA+12	393.20	Menara ST	Plososari
179-180	AA+3	470.50	Menara TST	Plososari
180-181	AA+6	400.40	Menara ST	Kalipang
181-182	AA+6	428.90	Menara ST	Rebalas
182-183	AA+6	372.70	Menara ST	Rebalas
183-184	AA+6	400.10	Menara ST	Rebalas
184-185	AA+6	421.00	Menara ST	Karanglo
185-186	AA+6	489.90	Menara ST	Karanglo
186-187	AA+6	439.00	Menara ST	Prodo
187-188	AA+3	451.40	Menara TST	Prodo
188-189	AA+3	434.20	Menara ST	Kebonrejo
189-190	AA+3	426.10	Menara ST	Kebonrejo
190-191	AA	377.70	Menara TST	Kebonrejo
191-192	AA+6	506	Menara TST	Prodo

WILAYAH KERJA UPT PROBOLINGGO
SUTET 500 KV PAITON – KEDIRI (No. T 1 S/D 289)

Nomor Menara	Tipe Menara	Gawang (m)	Keterangan	Lokasi
192-193	AA+9	353.40	Menara TST	Prodo
193-194	AA	396.80	Menara TST	Prodo
194-195	AA	374.90	Menara ST	Lebak
195-196	BB+6	443.30	Menara TST	Lebak
196-197	AA+3	450.20	Menara TST	Winongan
197-198	AA+6	443.40	Menara TST	Pcnataan
198-199	AA+3	415.10	Menara TST	Menyarik
199-200	AA+6	470.20	Menara TST	Mendalan
200-201	AA+6	437.10	Menara ST	Keboncandi
201-202	AA+3	429.60	Menara TST	Keboncandi
202-203	AA+6	480.50	Menara TST	Keboncandi
203-204	AA+6	419.20	Menara ST	Brambang
204-205	BB	392.00	Menara TST	Wonojati
205-206	AA	416.10	Menara TST	Wonosari
206-207	AA+6	406.60	Menara TST	Wonosari
207-208	AA+3	466.30	Menara TST	Kersikan
208-209	AA+6	467.00	Menara TST	Kersikan
209-210	AA+9	452.60	Menara TST	Karangsentul
210-211	AA+3	474.80	Menara TST	Karangsentul
211-212	AA+6	427.90	Menara TST	Bajangan
212-213	AA+6	394.40	Menara ST	Ketangi Rejo
213-214	AA	417.80	Menara TST	Pateban
214-215	CC+3	396.10	Menara TST	Pateban
215-216	AA+3	458.80	Menara TST	Kejayan

WILAYAH KERJA UPT PROBOLINGGO
SUTET 500 KV PAITON – KEDIRI (No. T 1 S/D 289)

Nomor Menara	Tipe Menara	Gawang (m)	Keterangan	Lokasi
216-217	AA-6	431.10	Menara TST	Kejayan
217-218	BB+3	457.50	Menara TST	Seladi
218-219	BB+3	441.80	Menara TST	Tanggulangin
219-220	AA+12	466.20	Menara TST	Tanggulangin
220-221	AA+12	483.00	Menara ST	Tanggulangin
221-222	AA+3	423.10	Menara TST	Kurung
222-223	AA+3	397.50	Menara ST	Sumber Banteng
223-224	AA+3	408.50	Menara ST	Sumber Banteng
224-225	AA+3	437.40	Menara ST	Kuwuh
225-226	AA+6	441.00	Menara TST	Kuwuh
226-227	AA+6	488.10	Menara ST	Kuwuh
227-228	AA+3	414.20	Menara TST	Kuwuh
228-229	AA	371.40	Menara TST	Pacar Keling
229-230	AA	306.10	Menara ST	Sambisirah
230-231	AA+6	478.70	Menara TST	Sambisirah
231-232	BB+6	457.00	Menara TST	Kluwut
232-233	BB+6	449.80	Menara ST	Kluwut
233-234	BB+6	477.00	Menara ST	Kluwut
234-235	AA+9	452.70	Menara TST	Wonorejo
235-236	AA+9	448.30	Menara ST	Karangasem
236-237	AA+6	475.30	Menara TST	Jatigunting
237-238	BB-6	455.00	Menara TST	Jatigunting
238-239	BB+3	368.80	Menara TST	Jatigunting
239-240	AA+3	404.70	Menara TST	Jatigunting

WILAYAH KERJA UPT PROBOLINGGO
SUTET 500 KV PAITON – KEDIRI (No. T 1 S/D 289)

Nomor Menara	Tipe Menara	Gawang (m)	Keterangan	Lokasi
240-241	AA+6	389.50	Menara TST	Jaligunting
241-242	AA-3	299.90	Menara TST	Jaligunting
142-243	DD	299.90	Menara TST	Jaligunting
243-244	AA+9	492.00	Menara TST	Pebano
244-245	AA+9	494.00	Menara ST	Pebano
245-246	AA+9	484.80	Menara ST	Pebano
246-247	AA+9	439.20	Menara ST	Kalirejo
247-248	AA+12	481.70	Menara TST	Candi Binangun
248-249	AA+6	488.80	Menara TST	Candi Binangun
249-250	AA+9	362.90	Menara TST	Candi Binangun
250-251	AA	441.90	Menara TST	Candi Binangun
251-252	BB+3	497.70	Menara TST	Candi Binangun
252-253	AA+9	417.50	Menara TST	Kenduruan
253-254	AA-15	390.80	Menara TST	Kenduruan
254-255	AA+15	500.20	Menara ST	Kenduruan
255-256	AA+3	408.00	Menara TST	Sukorame
256-257	AA+3	494.60	Menara ST	Sukorame
257-258	AA+9	424.60	Menara TST	Curah Rejo
258-259	AA+9	447.60	Menara ST	Curah Rejo
259-260	AA	386.00	Menara TST	Sebani
260-261	AA	360.60	Menara ST	Sebani
261-262	AA+3	414.50	Menara TST	Sebani
262-263	BB+6	482.90	Menara TST	Sebani
263-264	BB+3	480.90	Menara TST	Sebani

WILAYAH KERJA UPT PROBOLINGGO
SUTET 500 KV PAITON – KEDIRI (No. T 1 S/D 289)

Nomor Menara	Tipe Menara	Gawang (m)	Keterangan	Lokasi
264-265	AA+6	477.20	Menara TST	Kebunwaris
265-266	AA+9	511.90	Menara TST	Kcmiri Sewu
266-267	AA+9	442.30	Menara ST	Kemiri Sewu
267-268	AA+12	267.00	Menara TST	Kemiri Sewu
268-269	AA	361.00	Menara TST	Randupitu
269-270	AA+15	509.10	Menara TST	Randupitu
270-271	AA+15	264.80	Menara ST	Randupitu
271-272	BB+6	320.80	Menara TST	Randupitu
272-273	AA+6	484.80	Menara TST	Randupitu
273-274	AA+6	475.30	Menara TST	Randupitu
274-275	AA-6	460.70	Menara ST	Ngerong
275-276	BB+6	510.70	Menara TST	Ngerong
276-277	AA+12	488.50	Menara TST	Karangerjo
277-278	AA+6	355.70	Menara TST	Ngerong
278-279	AA+12	453.40	Menara TST	Ngerong
279-280	AA+9	441.30	Menara TST	Ngerong
280-281	AA	442.80	Menara TST	Bulusari
281-282	AA+9	496.00	Menara TST	Bulusari
282-283	BB+6	498.70	Menara TST	Bulusari
283-284	AA+9	499.20	Menara TST	Bulusari
284-285	AA+6	447.70	Menara TST	Bulusari
285-286	AA+12	385.30	Menara TST	Carat
286-287	DD+6	479.90	Menara TST	Carat
287-288	AA+6	485.50	Menara TST	Carat

WILAYAH KERJA UPT PROBOLINGGO
SUTET 500 KV PAITON – KEDIRI (No. T 1 S/D 289)

Nomor Menara	Tipe Menara	Gawang (m)	Keterangan	Lokasi
288-289	BB+6	464.40	 Wilayah kerja UPT Probolinggo Wilayah kerja UPT Kediri	Kebonagung
289-290	AA+6	468.30		Wakukosek
				Wates Negoro
				Jumlah Tower 289 Set
Panjang rute	=	123,526.70	Meter	
Panjang circuit	=	247.053	kMs	

WILAYAH KERJA UPT KEDIRI
SUTET 500 KV PAITON – KEDIRI (No. T 289 S/D 489)

Nomor Menara	Tipe Menara	Gawang (m)	Keterangan	Lokasi
290-291	CC+3	425.70	Menara TST	Wates Negoro
291-292	AA	423.10	Menara TST	Wates Negoro
292-293	AA	423.30	Menara ST	Wates Negoro
293-294	AA+3	434.50	Menara TST	Wates Negoro
294-295	CC	439.30	Menara TST	Wates Negoro
295-296	AA+3	430.90	Menara TST	Wates Negoro
296-297	AA+3	436.30	Menara ST	Candi Harjo
297-298	AA	445.90	Menara TST	Candi Harjo
298-299	AA+3	440.30	Menara TST	Candi Harjo
299-300	AA	439.70	Menara TST	Ngoro
300-301	AA+3	435.00	Menara TST	Kembangsari
301-302	DD	308.30	Menara TST	Kembangsari
302-303	AA	411.80	Menara TST	Kembangsari
303-304	AA	423.10	Menara ST	Sedati
304-305	AA+3	457.20	Menara TST	Sedati
305-306	AA+6	390.60	Menara TST	Purwajati
306-307	AA	402.50	Menara TST	Lolawang
307-308	AA+3	397.80	Menara TST	Lolawang
308-309	AA+3	461.30	Menara ST	Purwajati
309-310	DD+3	444.50	Menara TST	Purwajati
310-311	AA+3	460.60	Menara TST	Purwajati
311-312	AA+9	308.40	Menara TST	Purwajati

WILAYAH KERJA UPT KEDIRI
SUTET 500 KV PAITON – KEDIRI (No. T 287 S/D 489)

Nomor Menara	Tipe Menara	Gawang (m)	Keterangan	Lokasi
312-313	AA-12	448.00	Menara TST	Kuta Girang
313-314	AA+6	422.30	Menara TST	Kuta Girang
314-315	AA+6	436.10	Menara ST	Kuta Girang
315-316	AA+3	427.80	Menara TST	Kuta Girang
316-317	BB+3	477.10	Menara ST	Kuta Girang
317-318	AA+6	419.40	Menara TST	Kesemen
318-319	AA	403.20	Menara TST	Kesemen
319-320	AA+6	398.40	Menara TST	Kesemen
320-321	CC	419.80	Menara TST	Kesemen
321-322	AA+3	414.20	Menara TST	Purworejo
322-323	AA+6	454.50	Menara TST	Purworejo
323-324	AA+3	381.10	Menara TST	Purworejo
324-325	AA+6	407.60	Menara TST	Purworejo
325-326	DD	399.50	Menara TST	Jatijejer
326-327	AA-3	447.00	Menara TST	Kuripan Sari
327-328	AA-3	438.30	Menara ST	Kuripan Sari
328-329	AA+6	381.80	Menara TST	Kuripan Sari
329-330	AA	415.10	Menara TST	Kuripan Sari
330-331	AA-3	379.10	Menara TST	Kuripan Sari
331-332	AA+9	458.40	Menara TST	Kuripan Sari
332-333	AA	331.70	Menara TST	Pandanarum
333-334	CC-3	392.20	Menara TST	Pandanarum
334-335	AA+3	385.80	Menara TST	Simbaringen
335-336	AA+6	410.90	Menara TST	Simbaringen

WILAYAH KERJA UPT KEDIRI
SUTET 500 KV PAITON – KEDIRI (No. T 287 S/D 489)

Nomor Menara	Tipe Menara	Gawang (m)	Keterangan	Lokasi
336-337	AA+6	531.70	Menara ST	Simberingin
337-338	AA+3	412.60	Menara TST	Payungrejo
338-339	AA	405.90	Menara TST	Payungrejo
339-340	AA+3	393.60	Menara TST	Payungrejo
340-341	AA+6	490.00	Menara TST	Kedung Gede
341-342	GG+3	422.70	Menara TST	Kedung Gede
342-343	AA+6	437.60	Menara TST	Kedung Gede
343-344	AA+6	416.10	Menara ST	Kedung Gede
344-345	AA	443.30	Menara TST	Punggul
345-346	AA	404.50	Menara ST	Punggul
346-347	AA+6	409.90	Menara TST	Punggul
347-348	AA	335.30	Menara ST	Punggul
348-349	AA	392.20	Menara ST	Punggul
349-350	AA	414.80	Menara ST	Tawar
350-351	AA	360.90	Menara ST	Karangkunten
351-352	BB+3	301.60	Menara TST	Karangkunten
352-353	AA	430.80	Menara TST	Karangkunten
353-354	AA+9	452.40	Menara TST	Tawar
354-355	AA+3	417.00	Menara TST	Karangkunten
355-356	AA-3	387.50	Menara TST	Bening
356-357	AA+9	378.50	Menara TST	Bening
357-358	AA+12	544.70	Menara TST	Sumberagung
358-359	AA+9	417.70	Menara TST	Sumberagung
359-360	AA+6	466.30	Menara TST	Baureno

WILAYAH KERJA UPT KEDIRI
SUTET 500 KV PAITON – KEDIRI (No. T 287 S/D 478)

Nomor Menara	Tipe Menara	Gawang (m)	Keterangan	Lokasi
360-361	AA+6	354.60	Menara TST	Baureno
361-362	AA-3	373.70	Menara TST	Baureno
362-363	BB-3	390.80	Menara TST	Jatirejo
363-364	AA	497.50	Menara TST	Jatirejo
364-365	AA+9	450.70	Menara TST	Jatirejo
365-366	AA+6	532.40	Menara TST	BKPH Jabung & Gedangan
366-367	AA-3	432.10	Menara TST	BKPH Jabung & Gedangan
367-368	AA	394.40	Menara TST	BKPH Jabung & Gedangan
368-369	AA+3	411.70	Menara TST	BKPH Jabung & Gedangan
369-370	BB	504.70	Menara TST	BKPH Jabung & Gedangan
370-371	AA+0	466.40	Menara TST	BKPH Jabung & Gedangan
371-372	AA+6	384.90	Menara TST	BKPH Jabung & Gedangan
372-373	AA-3	333.10	Menara TST	BKPH Jabung & Gedangan
373-374	AA-3	395.80	Menara ST	BKPH Jabung & Gedangan
374-375	AA-3	326.90	Menara ST	BKPH Jabung & Gedangan
375-376	BB	357.90	Menara TST	BKPH Jabung & Gedangan
376-377	AA+3	357.80	Menara TST	BKPH Jabung & Gedangan
377-378	DD+3	332.80	Menara TST	BKPH Jabung & Gedangan
378-379	AA-3	388.90	Menara TST	BKPH Jabung & Gedangan
379-380	AA-3	267.80	Menara ST	BKPH Jabung & Gedangan
380-381	BB+6	448.00	Menara TST	BKPH Jabung & Gedangan
381-382	BB+6	384.50	Menara ST	BKPH Jabung & Gedangan
382-383	AA-3	457.40	Menara TST	BKPH Jabung & Gedangan
383-384	AA-3	213.20	Menara ST	BKPH Jabung & Gedangan

WILAYAH KERJA UPT KEDIRI
SUTET 500 KV PAITON – KEDIRI (No. T 287 S/D 478)

Nomor Menara	Tipe Menara	Gawang (m)	Keterangan	Lokasi
384-385	AA-3	437.80	Menara ST	BKPH Jabung & Gadangan
385-386	AA-3	276.50	Menara ST	BKPH Jabung & Gadangan
386-387	AA-3	387.00	Menara ST	BKPH Jabung & Gadangan
387-388	BB-3	391.50	Menara TST	BKPH Jabung & Gadangan
388-389	AA+3	426.20	Menara TST	BKPH Jabung & Gadangan
389-390	AA-3	501.20	Menara TST	BKPH Jabung & Gadangan
390-391	AA	270.40	Menara TST	BKPH Jabung & Gadangan
391-392	AA+6	350.70	Menara TST	BKPH Jabung & Gadangan
392-393	AA+6	509.30	Menara ST	BKPH Jabung & Gadangan
393-394	AA-3	439.00	Menara TST	Ngrimbi
394-395	AA+6	363.90	Menara TST	Ngrimbi
395-396	BB	467.40	Menara TST	Ngrimbi
396-397	AA+6	359.80	Menara TST	Nglembak
397-398	AA+15	411.60	Menara TST	Nglembak
398-399	AA	547.50	Menara TST	Nglembak
399-400	AA+6	393.00	Menara TST	Banjaragung
400-401	AA	462.80	Menara TST	Banjaragung
401-402	AA+3	450.40	Menara TST	Banjaragung
402-403	AA-3	408.20	Menara ST	Barong
403-404	AA+3	494.20	Menara ST	Barong
404-405	AA+6	473.80	Menara TST	Barong
405-406	AA	442.90	Menara TST	Barong
406-407	BB+6	472.30	Menara TST	Barong
407-408	AA+3	461.70	Menara TST	Barong

WILAYAH KERJA UPT KEDIRI
SUTET 500 KV PAITON – KEDIRI (No. T 287 S/D 478)

Nomor Menara	Tipe Menara	Gawang (m)	Keterangan	Lokasi
408-409	BB+6	477.80	Menara TST	Barong
409-410	AA+6	501.20	Menara TST	Mundusewu
410-411	BB+6	427.60	Menara TST	Mundusewu
411-412	AA+6	485.60	Menara TST	Mundusewu
412-413	AA+6	488.10	Menara ST	Kebondalem
413-414	AA+6	400.80	Menara ST	Kebondalem
414-415	AA+9	436.40	Menara TST	Kebondalem
415-416	AA+6	446.20	Menara TST	Kebondalem
416-417	BB+3	464.20	Menara TST	Rejoagung
417-418	AA+6	479.50	Menara TST	Kasreman
418-419	AA+9	458.90	Menara TST	Kasreman
419-420	AA	430.50	Menara TST	Kasreman
420-421	AA+9	530.70	Menara TST	Kasreman
421-422	AA+9	348.10	Menara ST	Kasreman
422-423	AA-3	343.30	Menara TST	Kemiri
423-424	BB+6	421.70	Menara TST	Kemiri
424-425	BB+3	399.80	Menara TST	Karangtengah
425-426	BB+6	462.20	Menara TST	Karangtengah
426-427	AA+6	474.40	Menara TST	Klampisan
427-428	AA+6	404.10	Menara ST	Klampisan
428-429	AA	365.00	Menara TST	Keling
429-430	AA	381.00	Menara ST	Klampisan
430-431	AA+6	445.10	Menara TST	Klampisan
431-432	AA+3	415.80	Menara TST	Keling

WILAYAH KERJA UPT KEDIRI
SUTET 500 KV PAITON – KEDIRI (No. T 287 S/D 478)

Nomor Menara	Tipe Menara	Gawang (m)	Keterangan	Lokasi
432-433	AA+6	302.20	Menara TST	Keling
433-434	AA	367.60	Menara TST	Kencong
434-435	AA+6	456.70	Menara TST	Kencong
435-436	AA+3	415.60	Menara TST	Kencong
436-437	AA+9	440.70	Menara TST	Krenceng
437-438	AA+6	455.80	Menara TST	Krenceng
438-439	BB+6	452.60	Menara TST	PHPH Pare
439-440	AA+6	420.90	Menara TST	Krenceng
440-441	AA+6	344.90	Menara ST	BKPH Pare
441-442	AA+9	438.70	Menara TST	Gadungan
442-443	BB+6	388.00	Menara TST	Manggis
443-444	AA	404.90	Menara TST	Manggis
444-445	AA+6	477.70	Menara TST	Gadungan
445-446	AA+12	405.90	Menara TST	BKPH Pare
446-447	AA+3	436.70	Menara TST	BKPH Pare
447-448	CC	427.50	Menara TST	BKPH Pare
448-449	AA+6	441.40	Menara TST	BKPH Pare
449-450	AA+3	439.50	Menara TST	BKPH Pare
450-451	AA	403.20	Menara TST	BKPH Pare
451-452	AA+3	462.60	Menara TST	BKPH Pare
452-453	AA+6	452.40	Menara TST	BKPH Parc
453-454	AA+6	450.50	Menara ST	BKPH Parc
454-455	AA+6	399.10	Menara ST	Sumberagung
455-456	AA+6	467.70	Menara ST	Sumberagung

WILAYAH KERJA UPT KEDIRI
SUTET 500 KV PAITON – KEDIRI (No. T 287 S/D 478)

Nomor Menara	Tipe Menara	Gawang (m)	Keterangan	Lokasi
456-457	AA+6	473.80	Menara ST	Sumberagung
457-458	AA+6	405.40	Menara ST	Pranggang
458-459	AA+3	416.90	Menara TST	Pranggang
459-460	AA+9	363.60	Menara TST	Pranggang
460-461	AA+3	384.20	Menara TST	Pranggang
461-462	AA	388.90	Menara TST	Pranggang
462-463	AA+6	454.00	Menara TST	Pranggang
463-464	DD+3	445.90	Menara TST	Ploso Lor
464-465	AA+3	429.20	Menara TST	Ploso Lor
465-466	AA+3	429.90	Menara ST	Ploso Lor
466-467	AA+6	453.40	Menara TST	Ploso Lor
467-468	AA+6	437.70	Menara ST	Ploso Kidul
468-469	AA+3	354.80	Menara TST	Ploso Kidul
469-470	AA+3	470.60	Menara ST	Ploso Kidul
470-471	AA+6	476.90	Menara TST	Jarak
471-472	AA+6	467.00	Menara ST	Jarak
472-473	AA+9	479.00	Menara TST	Jarak
473-474	AA+12	476.00	Menara TST	Jarak
474-75	AA+15	457.00	Menara TST	Panjer
475-476	AA+6	400.40	Menara TST	Panjer
476-477	AA+6	454.10	Menara ST	Ngasem
477-478	AA+3	431.50	Menara TST	Ngasem
478-479	BB+3	360.50	Menara TST	Ngasem
479-480	AA+3	425.60	Menara TST	Bangkok

WILAYAH KERJA UPT KEDIRI
SUTET 500 KV PAITON – KEDIRI (No. T 287 S/D 478)

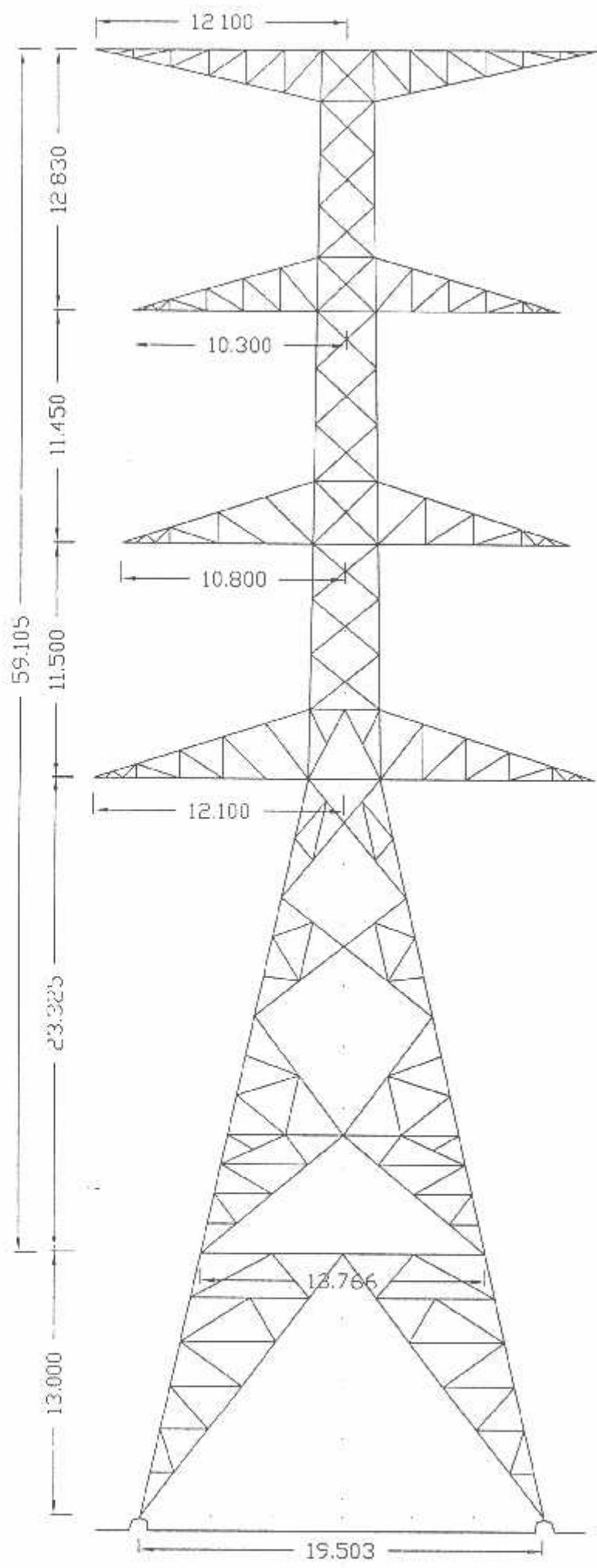
Nomor Menara	Tipe Menara	Gawang (m)	Keterangan	Lokasi
480-481	AA	401.80	Menara TST	Bangkok
481-482	AA+3	450.20	Menara TST	Bogem
482-483	AA	426.30	Menara TST	Sidomulyo
483-484	AA+3	373.80	Menara TST	Sidomulyo
484-485	AA+3	483.50	Menara ST	Sidomulyo
485-486	AA+3	461.40	Menara ST	Janti
486-487	AA+9	496.90	Menara TST	Janti
487-488	AA+12	391.10	Menara TST	Tempurejo
488-489	AA+9	473.10	Menara TST	Tempurejo
489-490	AA+9	409.30	Menara ST	Tempurejo
490-491	BB	433.00	Menara TST	Ngletih
491-492	AA+3	415.20	Menara TST	Ngletih
492-493	AA+6	434.30	Menara TST	Ngletih
493-494	AA+6	427.10	Menara ST	Jamsaren
494-495	AA+3	406.20	Menara TST	Jamsaren
495-496	CC+3	348.30	Menara TST	Jamsaren
496-Gan	FF	80.00	Menara TST	Didalam GI
	GAN-11		Menara ST	Didalam GI
Panjang rute		= 85.823,30	Meter	Jumlah Tower 207 Set
Panjang circuit		= 173.646,60	kMs	

Sumber: Data dari PLN

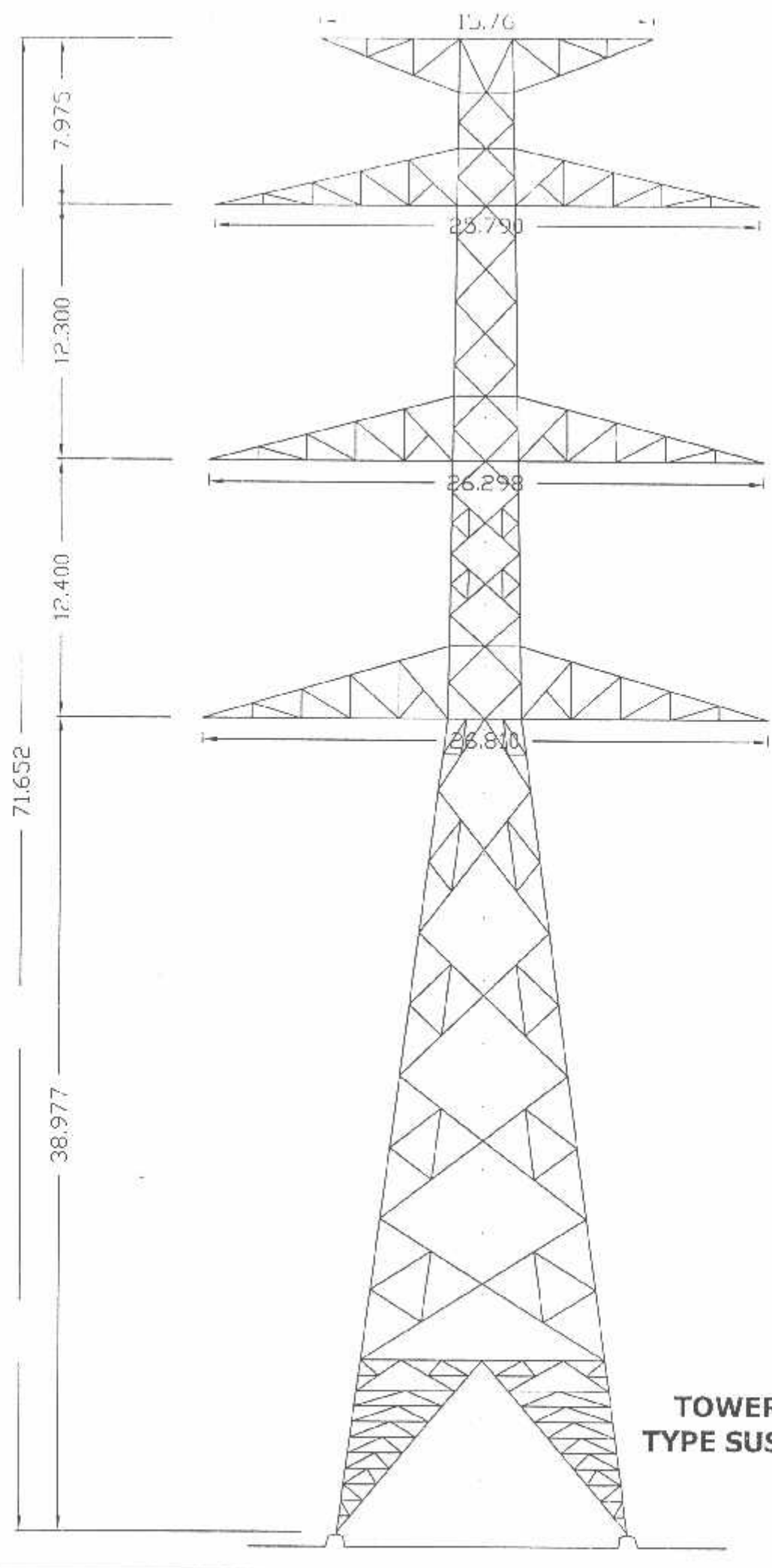
Keterangan

Menara TST = Menara Tidak Sama Tinggi

Menara ST = Menara Sama Tinggi



**TOWER 500KV
TYPE TENSION**



**TOWER 500KV
TYPE SUSPENSION**

American Wire Group
1 E. Hallandale Beach Blvd., Suite PH8
Hallandale, Florida 33009
Free: 1-800-342-7215 • Telephone: 1-954-455-3050 • Fax: 1-954-455-9886
Email: thhnman@aol.com • Website: www.buyawg.com

Gannet, ACSR Aluminum Conductor Steel Reinforced

ACSR Aluminum Conductor Steel Reinforced

Applications

Used as bare overhead transmission cable and as primary and secondary distribution cable. ACSR offers optimal strength for line design. Variable steel core stranding enables desired strength to be achieved without sacrificing ampacity.

Construction

Aluminum alloy 1350-H-19 wires, concentrically stranded about a steel core. Core wire for ACSR is available with class A, B, or C galvanizing; "aluminized" aluminum coated (AZ); or aluminum-clad (AW). Additional corrosion protection is available through the application of grease to the core or infusion of the complete cable with grease.

Specifications

ACSR bare conductor meets or exceeds the following ASTM specifications:

B-230 Aluminum Wire, 1350-H19 for Electrical Purposes
B-231 Aluminum Conductors, Concentric-Lay-Stranded
B-232 Aluminum Conductors, Concentric-Lay-Stranded, Coated Steel Reinforced (ACSR)
B-341 Aluminum-Coated Steel Core Wire for Aluminum Conductors, Steel Reinforced (ACSR/AZ)
B-498 Zinc-Coated Steel Core Wire for Aluminum Conductors, Steel Reinforced (ACSR/AZ)
B-500 Zinc Coated and Aluminum Coated Stranded Steel Core for Aluminum Conductors, Steel Reinforced (ACSR)

SPECIFICATIONS

Name	Gannet
WG	666.6
Rating (A/I/St)	267
Outer Indiv. Wire - Aluminum	0.1601 Inches
Outer Indiv. Wire - Steel	0.1245 Inches
Outer Steel Core	0.3730 Inches
Outer Complete Cable (O.D.)	1.014 Inches
Per 1000ft - Al	628.7 lbs
Per 1000ft - St	288.5 Lbs

wt Per 1000ft - Total	917.1 Lbs
wt - Al	68.53 %
wt - Si	31.47 %
Breaking Strength	26400 Lbs
alance DC 20oC Per 1000ft.	0.0255 Ω
alance AC 75oC per 1000ft.	0.0313 Ω
I	812 Amps

SUMITOMO ELECTRIC U.S.A., INC.

SUBSIDIARY OF SUMITOMO ELECTRIC INDUSTRIES, LTD., JAPAN

<Design example >

GAP type name	Unit	GZTACSR 190 mm ²	GZTACSR 240 mm ²	GZTACSR 265 mm ²	GZTACSR 290 mm ²
Construction	Nos./mm	ZTAL - 14/TW* (3.24) ZTAL - 10/TW* (2.99) EST* - 7/2.0	ZTAL - 15/TW* ZTAL - 10/TW* EST* - 7/2.4	ZTAL - 19/3.1 ZTAL - 10/TW* (3.94) EST* - 7/2.8	ZTAL - 17/3.55 ZTAL - 10/TW* EST* - 7/2.8
		ZTA 1.8	ZTA 1.8	ZTA 1.8	ZTA 1.8
		Cross sec. (end view)	Cap (filled with fiber)		Gap
Min. breaking strength	Conductor	62.6	86.1	107.5	110.5
	Steel core	38.93	50.3	68.7	68.7
Diameter	Conductor	17.8	20.6	22.6	23.5
	Steel core	6.0	7.2	8.4	8.4
gap between steel core and Al layer	mm	1.2	1.2	1.2	1.2
Cross Sectional Area	Al(ZT,ZTA)	185.6	247.9	265.3	290.2
	Steel	22.0	31.7	43.1	43.1
	Total	207.6	279.6	308.4	333.3
Weight	Al	515.4	684.8	736.5	805.4
	Steel	172.0	248	337	337
	Filler	13.0	18.4	20.3	20.3
D.C. resistance at 20? (Max.)	Ω/km	0.1591	0.120	0.1129	0.1034
Modulus of elasticity	Conductor	77.1	78.2	81.9	80.4
	Steel core	205.9	205.9	205.9	206
Coefficient of Linear Expansion	Conductor	19.7	19.6	19.0	19.2
	Steel core	11.5	11.5	11.5	11.5

* TW : Trapezoid wire
EST : Extra high strength Zn galvanized steel

<Design example >

GAP type name	Unit	GZTACSR 340 mm ²	GZTACSR 440 mm ²	GZTACSR 520 mm ²	TACSR 610 mm ²
Construction	Nos./mm	ZTAL - 18/3.8 ZTAL - 12/TW* EST* - 7/3.8	ZTAL - 15/4.8 ZTAL - 10/TW* EST* - 7/3.1	ZTAL - 42/3.5 ZTAL - 12/TW* EST* - 7/3.4	TAL - 54/3.8 ST - 7/3.8
Cross section view					
Min. breaking strength	Conductor	172.4	147	178.4	
	Steel core	122.9	84.2	101.2	180
Diameter	Conductor	26.6	28.5	31.4	
	Steel core	11.4	10.2	10.2	34.2
gap between steel core and AL layer	mm	1.2	1.2	1.2	
Cross Sectional Area	Al(ZT,ZTA)	342.3	439.1	523.6	612.4
	Steel	79.4	52.8	63.6	79.4
	Total	421.7	491.9	587.2	691.78
Weight	Al	945.5		1453.5	
	Steel	622.2		497	
	Filler	31.4		26.7	
	Total	1599.0	1658	1977	
D.C. resistance at 20? (Max.)	Ω/km	0.0859	0.0686	0.0576	0.0481
Modulus of elasticity	Conductor	88.9	79	77.4	
	Steel core	205.9	206	205.9	78.3
Coefficient of Linear Expansion	Conductor	18.0	19.8	19.7	
	Steel core	× 10 ⁻⁵ /°C	11.5	11.5	19.5

* TW: Trapezoidal wire
 EST : Extra high strength Zn galvanized steel
 ST : standard Zn galvanized steel

JARINGAN TRANSMISI JAWA TIMUR & BALI

Lampiran I - D

